

User: theorie  
pw: spass

# Ausgewählte Kapitel der Theoretischen Informatik

## 1. Komplexitätstheorie

### 1.1. Einige Grundlagen

Def: Sei  $\Sigma$  ein Alphabet, d.h. eine endliche Menge von Buchstaben.  $\Sigma^*$  bezeichnet die Menge aller Worte über  $\Sigma$ . Eine Teilmenge  $L \subseteq \Sigma^*$  heißt Sprache (über  $\Sigma$ ).

Ein Problem ist eine Relation  $\mathcal{P} \subseteq \mathcal{I} \times \mathcal{S}$ , wobei  $\mathcal{I}$  die Menge der Probleminstanzen und  $\mathcal{S}$  die Menge der Problemlösungen ist.

Ist  $\mathcal{P}$  rechteindeutig, d.h. eine (partielle) Fkt, dann heißt  $\mathcal{P}$  Funktionsproblem.

Ist  $\mathcal{P}$  ein Funktionsproblem und  $\mathcal{S} = \{0, 1\}^*$ , dann heißt  $\mathcal{P}$  auch Entscheidungsproblem.

Bsp1: Sei  $\mathcal{P}$  ein Entscheidungsproblem, dann ist  $L =_{\text{def}} \{x \in \mathcal{I} \mid \mathcal{P}(x) = 1\}$  eine Sprache und  $\mathcal{P}$  wird auch als Wortproblem der Sprache  $L$  bezeichnet.

(2)

Bsp 2:

Sei  $V$  eine Menge von aussagenlogischen Variablen, etwa  $V = \{x_1, x_2, x_3, \dots\}$  und sei  $\mathcal{I}$  die Menge aller aussagenlogischen Formeln über (Teilmengen) von  $V$ .

a) Sei  $\mathcal{S}$  die Menge aller Flüten von endlichen Teilmengen von  $V$  nach  $\{0,1\}$ , dann ist  $\text{sat} \subseteq \mathcal{I} \times \mathcal{S}$  definiert durch  $(H, f) \in \text{sat}$  gdw  $H$  ist aussagenlogische Formel über  $V' \subseteq V$ ,  $f: V' \rightarrow \{0,1\}$  und  $f$  ist erfüllende Belegung von  $H$ .

b) Sei  $V' \subseteq V$ . Nun wird eine Ordnung  $<$  auf der Menge der Flüten  $f: V' \rightarrow \{0,1\}$  wie folgt definiert:

$$f_1 < f_2 \text{ gdw } \exists x_i \in V' (f_1(x_i) < f_2(x_i)) \wedge \\ \forall x_j \in V' (j < i \Rightarrow f_1(x_j) = f_2(x_j))$$

"lexiko graphische Ordnung"

$\text{LEXMINSAT}: \mathcal{I} \rightarrow \mathcal{S}$ , wobei

$$\text{LEXMINSAT}(H) = \text{def}$$

{ kleinste Flut  $f: V' \rightarrow \{0,1\}$ , so dass  $H$  benutzt Variablen aus  $V'$  und  $(H, f) \in \text{sat}$ , falls solch ein  $f$  existiert }

$f_0 \in \mathcal{S}$  mit  $f_0(x) = 0$  f.a.  $x \in V'$ , sonst

Bem: Eine Probleminstanz  $x \in \Sigma^*$  kann ein in Tupel sein. D.h. die Def. deckt auch m-stellige Fltprobleme ab.

Ziele: - Untersuchung der Komplexität v. Berechnungen  
(z.B. Anzahl der Schritte/Laufzeit oder Speicherbits)

Fokus

- Untersuchung der Komplexität von Algorithmen (z.B. Anzahl der Befehle)

### 1.2. Komplexitätsmaße und -klassen

Def: Ein Algorithmus A ( $\text{TM}, \text{RAM}, C$ ) berechnet

eine Flt  $f_A: \Sigma \rightarrow \Gamma$ , wenn

$$f_A(x) = \begin{cases} \text{Ergebnis von A bei Eingabe } x, \text{ falls A stoppt} \\ \text{undef, sonst} \end{cases}$$

Der Algorithmus A hat  $\Phi$ -Komplexität

(Laufzeit, Speicherplätze), wo bei  $\Phi_A: \Sigma \rightarrow \mathbb{N}$

und

$$\Phi_A(x) = \text{def} \begin{cases} \Phi\text{-Komplexität von A bei} \\ \text{Eingabe } x, \text{ falls A stoppt} \\ \text{undef, sonst} \end{cases}$$

Sei  $\Phi_A: \mathbb{N} \rightarrow \mathbb{N}$  vermöge

$$\Phi_A(n) = \text{def} \max_{|x|=n} \Phi_A(x), \text{ wobei } |x| \text{ Länge von } x.$$

Dann heißt  $\Phi_A$  worst-case Komplexität.

D.h. die Komplexität wird immer (fast) über die Eingabellänge gemessen!

Def: „Komplexitätsklasse“: Gegeben sei  $\Phi$ -Komplexität,  $\Sigma$ -Algorithmen typ (z.B. TM, RAM, C, ... ) und eine Schrankenfkt  $t: \mathbb{N} \rightarrow \mathbb{N}$ , dann

$F_\Sigma \Phi(t) = \text{def } \{ f \mid f \text{ total und es ex. ein Algorithmus } A \text{ vom Typ } \Sigma \text{ der } f \text{ berechnet und } \Phi_A \leq_{ac} t \}$

$\Sigma \Phi(t) = \text{def } \{ L \mid L \text{ Sprache und es ex. ein Algorithmus } A \text{ von Typ } \Sigma \text{ das Wortproblem von } L \text{ entscheidet und } \Phi_A \leq_{ac} t \}$

$t_1 \leq_{ac} t_2 \Leftrightarrow \text{es ex. ein } n_0 > 0 \text{ und } t_1(n) \leq t_2(n) \text{ f.a. } n > n_0$

„ $t_1$  almost everywhere less or equal than  $t_2$ “

$F_\Sigma \Phi(O(t)) = \text{def } \bigcup_{k>0} F_\Sigma \Phi(k \cdot t)$  (vgl. C)

„Funktionsklasse“

$\Sigma \Phi(O(t)) = \text{def } \bigcup_{k>0} \Sigma \Phi(k \cdot t)$

„Sprachklasse“

## 1 Random-Access-Maschinen

Die *Random-Access-Maschinen* (kurz: RAM) sind ein mathematisches Modell für reale Rechner. Eine RAM besteht aus einer Steuereinheit, aus unendlich vielen durchnumerierten Registern **R<sub>0</sub>**, **R<sub>1</sub>**, **R<sub>2</sub>**, ... und dem Befehlsregister **BR**. Jedes Register kann eine natürliche Zahl enthalten, wobei sich die  $n$  Eingaben am Anfang in den Registern **R<sub>0</sub>**, ..., **R<sub>n</sub>** befinden. Alle nicht benutzten Register enthalten zu Beginn 0. Das Ergebnis wird am Ende in Register **R<sub>0</sub>** abgelegt.

Folgende Befehle sind zulässig:

Befehl	Wirkung	
<b>Transportbefehle</b>		
$R_i \leftarrow R_j$	$\langle R_i \rangle := \langle R_j \rangle$	$\langle BR \rangle := \langle BR \rangle + 1$
$R_i \leftarrow RR_j$	$\langle R_i \rangle := \langle R \langle R_j \rangle \rangle$	$\langle BR \rangle := \langle BR \rangle + 1$
$RR_i \leftarrow R_j$	$\langle R \langle R_i \rangle \rangle := \langle R_j \rangle$	$\langle BR \rangle := \langle BR \rangle + 1$
<b>Arithmetische Befehle</b>		
$R_i \leftarrow k$	$\langle R_i \rangle := k$	$\langle BR \rangle := \langle BR \rangle + 1$
$R_i \leftarrow R_j + R_k$	$\langle R_i \rangle := \langle R_j \rangle + \langle R_k \rangle$	$\langle BR \rangle := \langle BR \rangle + 1$
$R_i \leftarrow R_j - R_k$	$\langle R_i \rangle := \langle R_j \rangle - \langle R_k \rangle$	$\langle BR \rangle := \langle BR \rangle + 1$
<b>Sprungbefehle</b>		
GOTO m		$\langle BR \rangle := m$
IF $R_i = 0$ GOTO m	$\langle BR \rangle := m$ falls $\langle R_i \rangle = 0$	$\langle BR \rangle := m$ sonst
IF $R_i > 0$ GOTO m	$\langle BR \rangle := m$ falls $\langle R_i \rangle > 0$	$\langle BR \rangle := m$ sonst

Dabei bezeichnet  $\langle R_i \rangle$  den Inhalt des Registers  $i$ .

Gegeben sei die folgende RAM:

- 0  $R_3 \leftarrow 1$
- 1 IF  $R_1 = 0$  GOTO 5 falls  $\langle R_1 \rangle > 0$  führe Schleife durch
- 2  $R_2 \leftarrow R_2 + R_0$  addiere  $x$  zu  $\langle R_2 \rangle$
- 3  $R_1 \leftarrow R_1 - R_3$  dekrementiere  $R_1$
- 4 GOTO 1
- 5  $R_0 \leftarrow R_2$  Ergebnis nach  $R_0$
- 6 STOP

## 2 Aufgaben

1. Simulieren Sie die Wirkungsweise des oben angegebenen RAM-Programms für die Eingaben  $x = 5$  und  $y = 3$ . Geben Sie an, welche Funktion durch diese RAM berechnet wird.

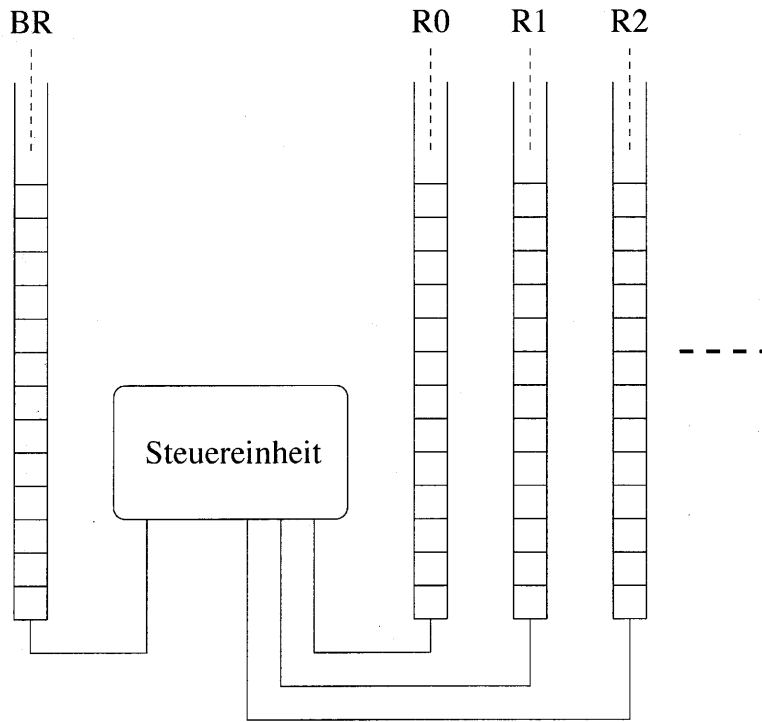


Abbildung 1: Bestandteile einer Random-Access-Maschine

2. Entwickeln Sie ein RAM-Programm, das die Funktion  $\text{ggT}(x, y)$  berechnet ( $\text{ggT} = \underline{\text{größter gemeinsamer Teiler}}$ ).

## 1 Turingmaschinen

Eine Turingmaschine (kurz TM), eingeführt von Alan Turing 1936 in seiner für die Informatik zentralen Arbeit „On computable numbers with an application to the Entscheidungsproblem“, hat die folgenden Bestandteile:

- Mehrere ( $k \geq 1$ ) beidseitig unendliche, in *Felder* unterteilte *Bänder*. In jedem Feld steht ein Symbol (Buchstabe) aus einem endlichen *Bandalphabet*  $\Sigma$ . Das Leerzeichen  $\square \in \Sigma$  deutet an, dass in diesem Feld eigentlich nichts steht.
- Ein *Lese- und Schreibkopf* für jedes Band (kurz *Kopf* genannt), der sich von Feld zu Feld bewegen und den Inhalt des jeweils betrachteten Feldes lesen und ändern kann.
- Eine *Steuereinheit*, die sich in einem der *Zustände* aus einer endlichen Zustandsmenge  $Z$  befindet, Informationen über die von den Köpfen gelesenen Symbole bekommt und deren Aktivitäten steuert. Es gibt zwei besonders ausgezeichnete Zustände: den *Startzustand* und den *Endzustand*.

Eine Turingmaschine arbeitet taktweise und kann in Abhängigkeit

- vom gegenwärtigen Zustand und
- von den durch die Köpfe gelesenen  $k$  Bandsymbole

gleichzeitig

- einen neuen Zustand annehmen
- die  $k$  gelesenen Bandsymbole verändern und
- jeden der Köpfe um maximal ein Feld bewegen.

Das Verhalten einer Turingmaschine in einem Takt wird durch die (totale) Überführungsfunktion

$$\delta: Z \times \Sigma^k \rightarrow Z \times \Sigma^k \times \{L, N, R\}^k$$

festgelegt. Für  $z \in Z, a_1, \dots, a_k \in \Sigma$  beschreibt

$$\delta(z, a_1, \dots, a_k) = (z', a'_1, \dots, a'_k, \sigma_1, \dots, \sigma_k)$$

das Verhalten der Turingmaschine im Zustand  $z$ , wenn sie auf dem Band  $i$  das Symbol  $a_i$  gelesen hat und dann in den Zustand  $z'$  übergegangen ist und auf Band  $i$  das Symbol  $a'_i$  geschrieben hat. Dannach wird der Kopf  $i$  nach links ( $L$ ), nicht ( $N$ ) oder rechts ( $R$ )

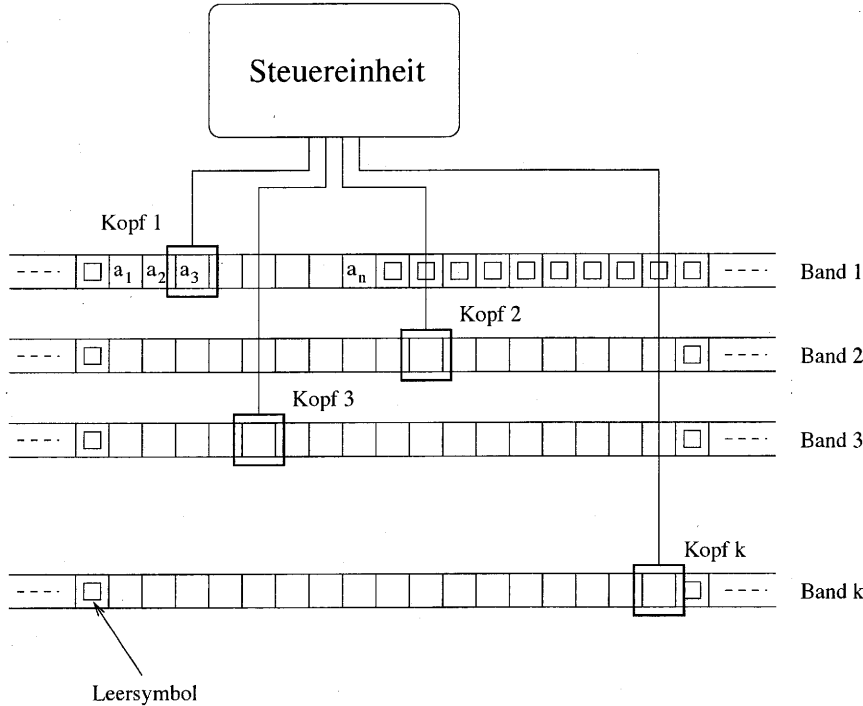


Abbildung 1: Bestandteile einer Turingmaschine

bewegt. Der Startzustand ist  $z_0$  und der Endzustand ist  $z_1$ . Die Turingmaschine beginnt ihre Arbeit immer im Zustand  $z_0$  und findet die Eingabe auf dem ersten Band. Dabei befindet sich der Kopf für die Eingabe immer ganz links auf der Eingabe. Die TM hält (stoppt), falls sie in den Zustand  $z_1$  gelangt und schreibt die Ausgabe auch auf Band 1.

Es ist folgende Aufgabe zu lösen:

Erkenne ob die Eingabe ein Palindrom ist, d.h. ob die Buchstaben von links nach rechts gelesen das gleiche Wort bilden, wie von rechts nach links gelesen. D.h. wir sollen ein Turing-Programm für die folgende Funktion angeben:

$$\text{palindrom}(x) =_{\text{def}} \begin{cases} a, & \text{falls } x \text{ ein Palindrom} \\ b, & \text{sonst} \end{cases}$$

Idee:

- Merke Buchstabe links im Zustand und lösche ihn
- Vergleich mit Buchstaben rechts:
  - Wenn die Buchstaben nicht übereinstimmen, dann alles löschen und b schreiben
  - Bei Übereinstimmung letztes Zeichen löschen und ganz nach links wandern. Dann diesen Prozess wiederholen.

Die Zustände haben die folgende Bedeutung:

$z_a$ : Buchstabe a gemerkt

$z_b$ : Buchstabe b gemerkt

$z'_a$ : Ein Schritt nach links und a testen

$z'_b$ : Ein Schritt nach links und b testen

$z_0$ : Startzustand, d.h. „Merkprozess“ starten

$z_1$ : Endzustand

$z_2$ : Test positiv, d.h. nach links laufen und Prozess wiederholen

$z_3$ : Test negativ, alles löschen.

Nun geben wir eine Turingmaschine  $M = (\Sigma, Z, f, z_0, z_1)$  an, die das Problem löst.

- $\Sigma = \{a, b, \square\}$
- $Z = \{z_a, z_b, z'_a, z'_b, z_0, z_1, z_2, z_3\}$
- $f$  Siehe Bild 2
- $z_0$  Startzustand
- $z_1$  Endzustand

$z_0 \square \rightarrow z_1 a N$  // leeres Wort  
 $z_0 a \rightarrow z_a \square R$  // a merken nach rechts  
 $z_0 b \rightarrow z_b \square R$  // b merken nach rechts

$z_a a \rightarrow z_a a R$  // nach rechts, a gemerkt  
 $z_a b \rightarrow z_a b R$   
 $z_a \square \rightarrow z'_a \square L$  // rechtes Ende gefunden  
 $) z'_a a \rightarrow z_2 \square L$  // Vergleich positiv  
 $z'_a b \rightarrow z_3 \square L$  // Vergleich negativ

$z'_a \square \rightarrow z_1 a N$  // War Palindrom

$z_b a \rightarrow z_b a R$  // Nach rechts, b gemerkt  
 $z_b b \rightarrow z_b b R$   
 $z_b \square \rightarrow z'_b \square L$  // rechtes Ende gefunden  
 $z'_b b \rightarrow z_2 \square L$  // Vergleich positiv  
 $z'_b a \rightarrow z_3 \square L$  // Vergleich negativ

$z'_b \square \rightarrow z_1 a N$  // War Palindrom

$) z_2 a \rightarrow z_2 a L$  // Nach links und  
 $z_2 b \rightarrow z_2 b L$  // neuen Vergleich starten  
 $z_2 \square \rightarrow z_0 \square R$

$z_3 a \rightarrow z_3 \square L$  // Band löschen und nach links  
 $z_3 b \rightarrow z_3 \square L$   
 $z_3 \square \rightarrow z_1 b N$

Abbildung 2: Ein Turingprogramm zum Erkennen von Palindromen

### 1.3. Deterministische Berechnungen

Für die Rechenzeit eines deterministischen Algorithmen typs schreiben wir DTIME (kurz: Zeit) und für den Speicherplatz DSPACE (kurz: Platz / Raum)

In der Theoretischen Informatik werden besonders die Algorithmen typ TM und RAM verwendet, da sie sich leicht analysieren lassen. Hier: Ein- und Mehr band-TMs zfl. mit (nur lesbarem) Eingabe band und (nur schreibbarem) Ausgabe band.

Wird eine mehrstellige Fkt berechnet, so sind die Argumente auf dem Eingabe band durch ein besonderes Treusymbol (z.B., oder \*) voneinander getrennt.

Sei  $M$  eine (Mehr band) TM und  $x$  eine Eingabeinstanz, dann

$$\text{DTIME}_M(x) = \begin{cases} \text{Anz. der Schritte von } M \text{ bei Eingabe } x, & \text{falls } M \text{ stoppt} \\ \text{undef.}, & \text{sonst} \end{cases}$$

$$\text{DSPACE}_M(x) = \begin{cases} \text{Anzahl der von } M \text{ besuchten Felder bei Eingabe } x, & \text{falls } M \text{ stoppt} \\ \text{undef.}, & \text{sonst} \end{cases}$$

Da wir nur TMs verwenden, wird  $T$  ab jetzt nicht mehr verwendet.

Bsp: Sei  $A = \{0^k 1^k \mid k \geq 0\} \subseteq \{0,1\}^*$ , dann kann das Wortproblem von A durch folgende 1-Band TM entschieden werden:

- i, Prüfe, ob eine 0 rechts von einer 1 steht
- ii, Wiederhole Schritt i), solange noch eine 0 und 1 auf dem Band stehen
- iii, Streiche eine 0 und eine 1
- iv, Falls 0en oder 1en übrig bleiben, dann schreibe 0 ( $\cong$  ablehnen) auf das Band, sonst 1 ( $\cong$  akzeptieren)

Zeitbedarf bei Eingabellänge  $n$ :

- i,  $O(n)$
  - ii,  $O(n)$
  - iii,  $O(n)$
- } Schleife wird  $O(n)$ -mal durchlaufen

$\Rightarrow$  totale Rechenzeit:  $O(n^2)$

$\Rightarrow A \in \text{DTIME}(n^2)$

Eine 2-Band Maschine erledigt die Aufgabe in Zeit  $O(n)$ .

Platzbedarf:  $O(n)$ , d.h.  $A \in \text{DSPACE}(n)$

Die Leistungsfähigkeit von 1-Band und Mehrbandmaschinen unterscheiden sich kann:

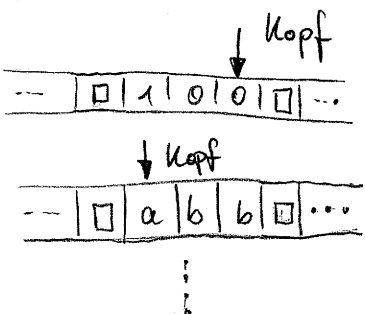
Satz: Sei  $t \gg n$ , dann kann jede Mehrband TM  $M$  mit  $\text{DTIME}_M(t)$  von einer 1-Band TM  $M'$  in  $\text{DTIME}_{M'}(\phi(t^2))$  simuliert werden.

Beweis:  $M$  habe  $k$  Bänder, dann wird  $M'$  wie folgt konstruiert

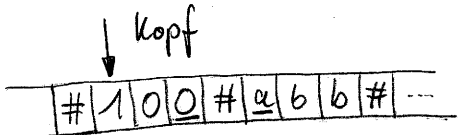
$M'$  speichert auf ihrem Band die Inhalte und Kopfpositionen hintereinander, getrennt durch ein Sonderzeichen (z.B. #).

Ein Schritt von  $M$  bedeutet nun, dass  $M'$  das gesamte Band durchlaufen muss, um alle Änderungen durchzuführen. (Bandinhalte, Kopfpositionen).

$M:$



$M':$

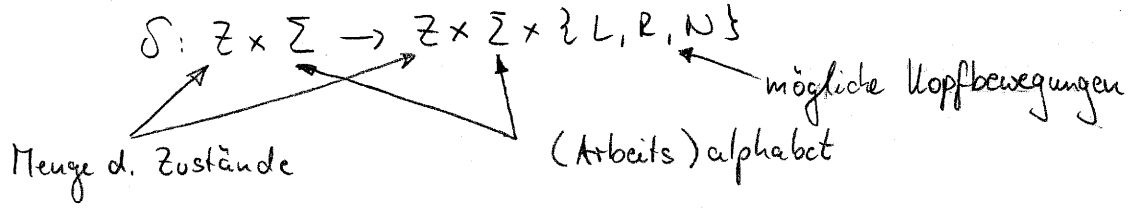


$\Rightarrow$  Ein Simulationschritt benötigt  $O(tn)$  Zeit, also beträgt die gesamte Zeit  $O(t^2n)$ . #

Bem: Der letzte Satz läuft sich auf  $O(t \log t)$  verbessern.

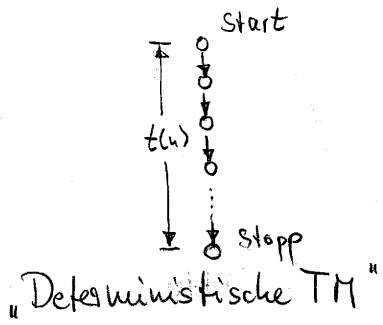
## 1.4. Nicht deterministische Berechnungen

Bei einer deterministischen TM ex. maximal ein Nachgeschritt in einer Berechnung, wie die Übersichtsflit zeigt:

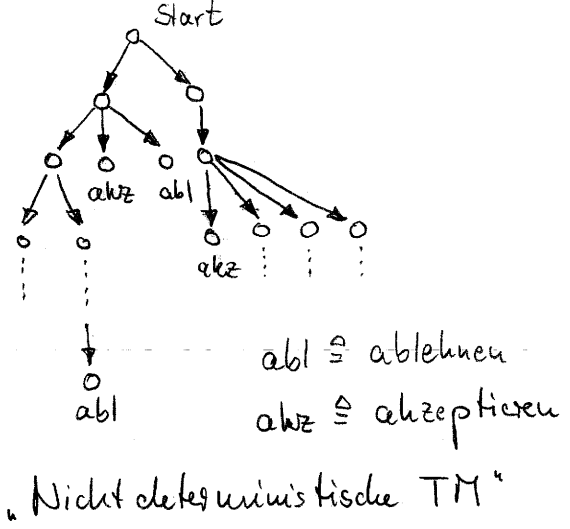


- Bei nichtdeterministischen Berechnungen ex. ztl. mehrere Nachfolgeschritte, d.h. die TM verzweigt sich in mehrere Kopien.  
⇒ Durch die nichtdeterministische Berechnung entsteht ein Baum.

"Berechnungsbaum"



"Deterministische TM"



"Nicht deterministische TM"

Die Möglichkeit zur (mehr fachen) Verzweigung ergibt die Übersichtsflit

$$\delta: Z \times \Sigma \rightarrow \mathcal{P}(Z \times \Sigma \times \{L, R, N\})$$

↑  
Potenzmenge

Sei nun  $M$  eine nicht det. TM und  $x$  eine Eingabe instanz,  
dann

$$NTIME_M(x) = \text{def} \begin{cases} \text{Maximale Anzahl von Takten} \\ \text{auf allen Berechnungspfaden, falls } M \text{ stoppt} \\ \text{mit Eingabe } x \\ \text{undef, sonst} \end{cases}$$

$$NSPACE_M(x) = \text{def} \begin{cases} \text{Maximale Anzahl von } M \text{ besuchten} \\ \text{Feldern, falls } M \text{ stoppt mit Eingabe } x \\ \text{undef, sonst} \end{cases}$$

Def: Eine nicht det. Maschine  $M$  akzeptiert eine Sprache  $L$ ,  
wenn

$$x \in L \text{ gdw } \exists z (M(x|z) = 1), \text{ wobei} \\ M(x|z) = \text{def} \begin{cases} \text{Resultat von } M \text{ bei Eingabe } x \\ \text{auf dem Pfad } z, \text{ falls } M \text{ hält} \\ \text{undef, sonst} \end{cases}$$

- Bem:
- Jeder(r) deterministische(r) Algorithmus / Maschine ist nicht det. Algorithmus / Maschine (vom gleichen Typ).
  - „Implementierung“ durch
    - RAMs: mehrere Befehle mit gleicher Nummer
    - TMs:  $s\alpha \rightarrow s'_1 a'_1 \sigma_1$  } mehrere Befehle mit gleicher linken Seite  
 $s\alpha \rightarrow s'_2 a'_2 \sigma_2$
    - C: neben  $s_1; s_2; \dots; s_n$  gibt es  $s_1 | s_2 | \dots | s_n$

Proposition: Sei  $t: \mathbb{N} \rightarrow \mathbb{N}$ , dann gilt

$$\text{DTIME}(t) \subseteq \text{NTIME}(t) \quad \text{und}$$

$$\text{DSPACE}(t) \subseteq \text{NSPACE}(t)$$

### 1.5 Grundlegende Beziehungen zwischen Komplexitätsklassen

Satz: Sei  $t(u) \geq n$ , dann gilt

$$\text{NTIME}(t(u)) \subseteq \text{DTIME}(2^{O(t(u))})$$

Beweis: Sei  $M$  eine nichtdet. TM, die in Zeit  $t(n)$  arbeitet. Bei Eingabe  $w$  spannt  $M$  einen Berechnungsbaum der Tiefe  $\leq t(|w|)$  auf, wobei  $n = |w|$ .

- Baumknoten  $\hat{=}$  „Situation d. Berechnung“, d.h. Zustand, Inhalte d. Bänder u. Kopfpositionen (so genannte Konfigurationen)
- Verzweigungen  $\hat{=}$  nichtdet. Wahlmöglichkeiten

Sei  $M'$  eine det. TM, die den Berechnungsbaum Knoten für Knoten konstruiert und nach einer abz. Konfiguration sucht (zgl. Breitensuche)

$$\begin{aligned} \text{Die Größe des Baums ist } &\leq \sum_{i=0}^{t(n)} b^i = \underset{\substack{\text{geo.} \\ \text{Reihe}}}{\frac{b^{t(n)+1}-1}{b-1}} \\ &= 2^{O(t(n))}, \end{aligned}$$

wenn  $b$  der max. Verzweigungsgrad des Berechnungsbaums ist. Ein Schritt von einer Konfiguration zu einer nächsten dauert max.  $O(t(n))$  (Zeitschranke d. nicht det. Berechnung), d.h. die gesamte Rechenzeit beträgt  $O(t(n)) \cdot 2^{O(t(n))}$   
 $= 2^{O(t(n))} \#$

Satz: Sei  $t(n) \gg n$ , dann gilt

$$\text{NTIME}(t(n)) \subseteq \text{DSPACE}(t(n))$$

Beweis: Verwende die Simulation aus letztem Beweis, aber der Berechnungsbaum wird nun in Tiefensuche abwechseln

Platzbedarf: Konfiguration benötigt  $O(t(n))$   
 vollständiger Pfad zur aktuellen Konfig. benötigt  $O(t(n))$  (Pfad ist eine b-äre Zahl der Länge  $\leq t(n)$ )

$$\Rightarrow \text{Speicherbedarf gesamt: } O(t(n)) \#$$

Folgerung: Sei  $t(n) \gg n$ , dann gilt

$$\text{DTIME}(t(n)) \subseteq \text{DSPACE}(t(n))$$

Satz: Sei  $s(n) \gg \log n$ , dann gilt

$$\text{DSPACE}(s(n)) \subseteq \text{DTIME}(2^{O(s(n))})$$

Beweis: Sei  $M$  eine TM mit Platzbedarf  $s$ , Anzahl von Zuständen  $q$ , Anzahl von Bändern  $k$  und dem Arbeitsalphabet habe  $r$  Buchstaben.

Klar: Durchläuft  $M$  eine bel. Konfiguration zweimal, dann befindet sich  $M$  in einer Endlosschleife. Da  $M$  eine Sprache entscheidet, kann diese Situation nicht vorkommen

$\Rightarrow$  Rechenzeit bei Eingabellänge  $n$

$\leq \# \text{ Konfigurationen bei Eingabellänge } n$

$\leq \# \text{ Zustände} \cdot$

$\# \text{ möglicher Kopfpositionen auf d. Eingabe band} \cdot$

$\# \text{ mögliche Arbeitsebene Inhalte} \cdot$

$\# \text{ Kopfpos. auf den Arbeitsebenden}$

$$= q \cdot (n+2) \cdot (r^{s(n)})^k \cdot (s(n))^k$$

↑  
Blanks

$$= 2^{O(s(n))}, \quad \text{falls } s(n) \geq \log n \quad \#$$

$s(n) = o(\log n) \Rightarrow \text{sublineare Zeit}$  ↴

Def: Eine Fkt  $f: \mathbb{N} \rightarrow \mathbb{N}$  heißt raumkonstruierbar, falls es eine det. TM  $M$  gibt, die bei Eingabe  $x$  genau Platzbedarf  $f(|x|)$  hat.

Bem: Alle "üblichen" Fktions wie  $n, n^k$  (kein),  $\log n, n \cdot \log n$ ,  $2^n$  sind raumkonstruierbar.

Satz: Sei  $\sin \gg \log n$  reell konstruierbar, dann gilt

$$\text{NSPACE}(s(n)) \subseteq \text{DTIME}(2^{O(s(n))})$$

Bem: Tiefensuche kläfft hier nicht, da der Berechnungsbaum eine Tiefe von bis zu  $2^{O(\text{sch}^n)}$  hat  
 $\Rightarrow$  Zeitbedarf:  $2^{O(\text{sch}^n)}$

Beweis: Sei  $M$  eine nicht det. TM mit Platzbedarf  $s$  und  $M'$  eine TM die die Raumkonstanzierbarkeit garantiert

Konstruiere ein det. TM N die auf Eingabe  $w$ ,  $n = |w|$   
wie folgt arbeitet:

- i, Markiere alle Bandzellen auf Arbeitsband 1 via Simulation von  $M'$
  - ii, Schreibe alle Konfigurationen von  $M$  auf Band 2
  - iii, Markiere Start konfig rot
  - iv, solange es noch rote Konfigurationen gibt wiederhole  $v_i$  und  $v_i'$ ,
  - v, Sei  $K$  die erste rote Konfiguration. Markiere  $K$  grün  
erreichbar in einem Schritt
  - vi, Markiere alle zu markierten Folgekonfigs von  $K$  rot
  - vii, Falls eine abz. Endkonfig markiert ist, so akzeptiere, sonst lehne ab.

## Zeitbedarf von N:

Die Anzahl der Schleifendurchläufe (v) - vi) ist durch die Anzahl der Konfigs beschränkt, da in jedem Schritt eine Konfig grün gefärbt wird  
 $\Rightarrow \# \text{ Schleifendurchläufe} \leq 2^{O(s(u))}$

Schritt	Zeitbedarf	Grund
i)	$2^{O(s(u))}$	$\text{DSPACE}(s) \subseteq \text{DTIME}(2^{O(s)})$
ii)	$2^{O(s(u))} \cdot O(s(u))$	# Konfigs · Schritte pro Konfig
iii)	$O(s(u))$	alle Zeichen
iv)	$2^{O(s(u))} \cdot O(s(u))$	# Konfigs · Länge Konfig
v)	$2^{O(s(u))} \cdot O(s(u))$	# Konfigs · Test auf rot
vi)	$2^{O(s(u))} \cdot O(s(u))$	Alle Konfigs durchlaufen · Umfärben
vii)	$2^{O(s(u))} \cdot O(s(u))$	Alle Konfigs durchlaufen · Test auf alt

$$\Rightarrow \text{Zeitbedarf } 2^{O(s(u))} \cdot 2^{O(s(u))} \cdot O(s(u)) = 2^{O(s(u))},$$

falls  $s(u) \geq \log_2(s(u))$  #

Satz (Satz von Savitch): Sei  $s(u) \geq \log u$  reumkonstruierbar,

dann gilt

$$\text{NSPACE}(s(u)) \subseteq \text{DSPACE}((s(u))^2).$$

Beweis: Sei  $M$  eine nichtdet. TM mit Platzbedarf  $s$  und  $w$  mit  $|w|=n$  die Eingabe von  $M$ .

Die folgende rekursive Prozedur testet, ob Konfig  $k_2$  von  $M$  mit  $w$  aus Konfig  $k_1$  in  $\leq 2^t$  Schritten erreichbar ist.

bool erreichbar ( $K_1, K_2, t$ )

{

if ( $(K_1 = K_2) \text{ || } (K_2 \text{ ist direkter Nachfolger von } K_1)$ ) {

return true;

elseif ( $t == 0$ ) {

return false;

} else {

for all (Konfigurationen  $K$  mit Platzbedarf  $s$ ) {

) „teile und herrsche“ → if (erreichbar ( $K_1, K, t-1$ )  $\text{ & }$  erreichbar ( $K, K_2, t-1$ )) {

return true;

}

return false.

Sei nun  $K_0$  die Startkonfiguration von  $M$  und  $d \in \mathbb{N}$ ,  
sodass  $2^{d \cdot s(u)}$  der Raumbedarf von  $M$ .

Definiere det. TM  $N$  wie folgt:

Eingabe:  $w, n=1^w$

for all (altz. Konfigurationen  $K$  von  $M$  mit Eingabe  $w$   
mit Platzbedarf  $s(n)$ ) {

if (erreichbar ( $K_0, K, d \cdot s(n)$ )) {

return true;

}

}

return false.

Analyse des Platzbedarfs von N:

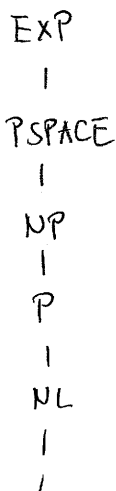
- N muss die Variablen  $K, K_1, K_2$  und  $t$  speichern mit Platzbedarf  $O(s(u))$
- Rekursionstiefe beträgt  $d.s(u) = O(s(u))$   
 $\Rightarrow$  gesamter Platzbedarf :  $O((s(u))^2)$  #

) Nun sollen spezielle Komplexitätsklassen definiert werden:

Def:

- $L = \text{def } \text{DSPACE}(\log n)$
- $NL = \text{def } \text{NSPACE}(\log n)$
- $P = \text{def } \text{DTIME}(n^{O(1)})$
- $NP = \text{def } \text{NTIME}(n^{O(1)})$
- $\text{PSPACE} = \text{def } \text{DSPACE}(n^{O(1)}) = \text{NSPACE}(n^{O(1)})$  Satz v. Savitch
- $\text{EXP} = \text{def } \text{DTIME}(2^{n^{O(1)}})$
- $\text{NEXP} = \text{def } \text{NTIME}(2^{n^{O(1)}})$

) Damit ergibt sich das folgende Inklusionsdiagramm:



# 1 Die Gödelisierung von Turingmaschinen

Aus technischen Gründen wollen wir Turingmaschinen in natürliche Zahlen umwandeln.

Sei  $M = (\Sigma, Z, \delta, z_0, z_1)$  eine 1-Band TM mit  $\Sigma = \{a_0, \dots, a_k\}$  und  $Z = \{z_0, \dots, z_l\}$ , dann kann man die Übergangsfunktion  $\delta$  wie folgt kodieren:

$$\delta(z_i, a_j) \ni (z_{i'}, a_{j'}, \sigma)$$

wird zu

$$\#\#\text{bin}(i)\#\text{bin}(j)\#\text{bin}(i')\#\text{bin}(j')\#\text{bin}(m),$$

wobei

$$m = \begin{cases} 0, & \text{falls } \sigma = L \\ 1, & \text{falls } \sigma = R \\ 2, & \text{falls } \sigma = N. \end{cases}$$

Dabei ist  $\text{bin}(x)$  wieder die Binärkodierung von  $x$ . Die Befehle unserer Turingmaschine schreiben wir in einer festgelegten Reihenfolge auf und bekommen so ein Wort über  $\{\#, 0, 1\}$ . Nun kodieren wir

$$\begin{array}{rcl} 0 & \mapsto & 00, \\ 1 & \mapsto & 01 \text{ und} \\ \# & \mapsto & 11. \end{array}$$

Die so berechnete Zahl nennen wir *Gödelnummer*<sup>1</sup> der Maschine  $M$ . Die Konstruktion verdeutlicht, dass für jede beliebige Turingmaschine leicht ihre Gödelnummer berechenbar ist. Ebenfalls einsichtig ist, dass man auch aus einer Gödelnummer leicht wieder die ursprüngliche Turingmaschine gewinnen kann. Weiterhin kann man sich leicht überlegen, dass nicht jede natürliche Zahl in binärer Darstellung eine Turingmaschine beschreibt. Dieses Problem können wir aber relativ leicht reparieren. Sei  $\hat{M}$  eine beliebige aber festgelegte Turingmaschine, dann sei

$$M_w =_{\text{def}} \begin{cases} M, & \text{falls } w \text{ die Gödelnummer der Turingmaschine } M \text{ ist} \\ \hat{M}, & \text{sonst.} \end{cases}$$

Mit der *Gödelisierung* ( $\triangleq$  Kodierung einer Turingmaschine durch eine Gödelnummer) haben wir erreicht, dass eine Turingmaschine die Eingabe einer anderen Turingmaschine  $M$  sein kann, d.h. die Turingmaschine  $M$  kann Berechnungen durchführen, die bestimmte Eigenschaften dieser Turingmaschine testet. Mit Hilfe dieser Idee definieren wir

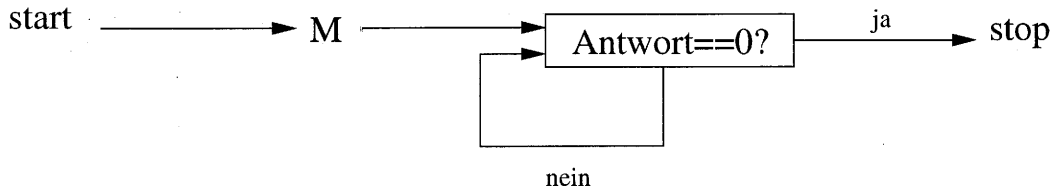
## Definition 1.1 (Spezielles Halteproblem)

$$H =_{\text{def}} \{w \in \{0, 1\}^* \mid M_w \text{ hält mit der Eingabe } w \text{ an}\}$$

<sup>1</sup>Gödelnummern sind nach dem österreichisch-ungarischen Mathematiker KURT GÖDEL (\*1906 in Brno (Tschechien) - †1978 in Princeton (USA)) benannt, der Gödelnummern in der Logik einführte.

Beweis: Angenommen  $H$  wäre entscheidbar, dann wäre die charakteristische Funktion  $c_H$  mit Hilfe der TM  $M$  berechenbar. Wir bauen nun die Turingmaschine  $M$  in die Maschine  $M'$  wie folgt um:

$M'$ :



Damit ergibt sich die folgende Situation: Die Maschine  $M'$  stoppt gdw.  $M$  die Antwort 0 ausgibt. Berechnet  $M$  die Antwort 1, dann gelangt  $M'$  in eine Endlosschleife und hält nicht an. Sei  $w'$  die Gödelnummer von  $M'$ , dann gilt:

- $M'$  mit Eingabe  $w'$  hält gdw.  $M$  mit Eingabe  $w'$  gibt 0 aus
- gdw.  $c_H(w') = 0$
- gdw.  $w' \notin H$
- gdw.  $M_{w'}$  hält bei Eingabe  $w'$  nicht an
- gdw.  $M'$  mit Eingabe  $w'$  hält nicht.

Dies ist ein Widerspruch zu der ursprünglichen Annahme, d.h. die Annahme war falsch und es kann keine Turingmaschine geben, die die charakteristische Funktion  $c_H$  berechnet. Damit ist das spezielle Halteproblem  $H$  nicht entscheidbar. #

### 1.6. Hierarchiesätze

Ganz natürlich stellen sich die Fragen:

- Gibt es  $s, s'$ , so dass  $\text{DSPACE}(s) \subsetneq \text{DSPACE}(s')$ ?  
analog:  $\text{DTIME}$
- Gibt es eine Klasse  $\text{DSPACE}(s)$ , so dass alle entscheidbaren Sprachen enthalten sind?

Bem:  $f = o(g)$ , falls  $\lim_{n \rightarrow \infty} \frac{f(n)}{g(n)} = 0$  ( $f$  wächst wesentlich langsamer als  $g$ )

Satz: Sei  $s$  räum konstruierbar, dann gibt es eine Sprache  $L \in \text{DSPACE}(s)$ , die nicht mit Platzbedarf  $o(s)$  entschieden werden kann.

Beweis: (Diagonalisierung)

Für eine TM  $M$  sei  $\langle M \rangle$  eine Kodierung von  $M$  in einem geeigneten Alphabet (z.B. als Binärzahl).

$\langle M \rangle$  heißt die Gödelisierung von  $M$ .

Sei nun  $\hat{M}$  eine TM mit Eingabe  $w$ ,  $n = |w|$ , die wie folgt arbeitet:

- i, markiere  $s(n)$  Bandzellen (s räum konstruierbar!).  
spätere Simulation verläuft markierten Bereich  $\Rightarrow$  ablehnen
- ii, falls  $w$  nicht der Form  $\langle M \rangle 1^0*$  f. eine TM  $M$  hat,  
dann ablehnen
- iii, simuliere  $M$  auf  $w$ . Benötigt  $M$  mehr als  $2^{s(n)}$   
Schritte, dann ablehnen
- iv, falls  $M$  akz, dann ablehnen, sonst akz

Sei  $A$  die Sprache, die  $\hat{M}$  entscheidet. Offensichtlich gilt  $A \in \text{DSPACE}(s)$

Zeigen: Wenn  $s' = o(s)$ , dann  $A \notin \text{DSPACE}(s')$ .

Annahme:  $A \in \text{DSPACE}(s')$ , dann ex. eine TM  $M'$ , die  $A$  entscheidet und Platz  $s'$  benötigt.

Wähle  $w$  von der Form  $\langle M' \rangle 10^*$  lang genug, so dass  $M'$  auf  $w$  Platzbedarf  $\leq s(|w|)$  und Zeitbedarf  $\leq 2^{s(|w|)}$  hat. "Padding"

Aufgrund dieser Wahl erreicht  $\hat{M}$  auf  $w$  den Schritt iv, ihrer Rechnung

Also gilt

$w \in A$  gdw  $M'$  akz  $w$  (Annahme)

gdw  $\hat{M}$  akz  $w$  nicht (Kontr. v.  $\hat{M}$ , Schritt iv))

gdw  $w \notin A$  #

$\Rightarrow$  Annahme falsch  $A \notin \text{DSPACE}(s')$  #

Folgerung: Sei  $s_1 = o(s_2)$ ,  $s_2$  raumkonstruierbar, dann gilt

$\text{DSPACE}(s_1) \not\subseteq \text{DSPACE}(s_2)$

Satz: Sei  $t_1(u) = o(t_2(u)/\log t_2(u))$ ;  $t_2$  "zeitkonstruierbar", dann gilt

$\text{DTIME}(t_1) \not\subseteq \text{DTIME}(t_2)$

Beweis: Ähnliche Diagonalisierungsmethode #

## 1 Die Klasse P

Es sollten unterschiedlich effiziente Algorithmen bezüglich ihrer Laufzeit verglichen werden. Dabei gibt die nächste Tabelle die reale Laufzeit in Abhängigkeit zur Anzahl der notwendigen Prozessortakte an. Angenommen wir ein 1 MIPS Rechner.

Anzahl	Takt- Objekte $n$					
	10	20	30	40	50	60
$n$	0.00001 Sekunden	0.00002 Sekunden	0.00003 Sekunden	0.00004 Sekunden	0.00005 Sekunden	0.00006 Sekunden
$n^2$	0.0001 Sekunden	0.0004 Sekunden	0.0009 Sekunden	0.0016 Sekunden	0.0025 Sekunden	0.0036 Sekunden
$n^3$	0.001 Sekunden	0.008 Sekunden	0.027 Sekunden	0.064 Sekunden	0.125 Sekunden	0.216 Sekunden
$n^5$	0.1 Sekunden	3,2 Sekunden	24.3 Sekunden	1.7 Minuten	5.2 Minuten	13.0 Minuten
$2^n$	0.001 Sekunden	1 Sekunde	17.9 Minuten	12.7 Tage	35.7 Jahre	366 Jahrhunderte
$3^n$	0.059 Sekunden	58 Minuten	6.5 Jahre	3855 Jahrhunderte	$2 \cdot 10^8$ Jahrhunderte	$1.3 \cdot 10^{13}$ Jahrhunderte

Es zeigt sich, dass Probleme, die in polynomieller Laufzeit lösbar sind, auch praktisch lösbar sind. Probleme, die lediglich Algorithmen mit exponentieller Laufzeit besitzen, sind hingegen praktisch von (derzeitigen) Computern nicht lösbar (auch bei mehr Hardware-einsatz). Ähnlich kann man die Eingabelänge angeben, die eine schnellere Computergeneration gerade noch in einer Stunde bewältigen kann:

Laufzeit	mit heutigen Computer	mit 100mal schnelleren Computer	mit 1000mal schnelleren Computer
$n$	$n_1$	$100n_1$	$1000n_1$
$n^3$	$n_2$	$4.64n_2$	$10n_2$
$n^5$	$n_3$	$2.5n_3$	$3.98n_3$
$2^n$	$n_4$	$n_4 + 6.64$	$n_4 + 9.97$
$3^n$	$n_5$	$n_5 + 4.19$	$n_5 + 6.29$

Folgerung: Es gilt  $\text{NL} \not\subseteq \text{PSPACE}$  und  $\text{P} \not\subseteq \text{EXP}$ .

## 2. Das $P \stackrel{?}{=} NP$ Problem

### 2.1. Die Klasse P

Bekannte Algorithmen mit polynomiellem Laufzeit sind „effizient“, da die auftretenden Polynome (sehr oft) einen kleinen Grad haben.

Andererseits: Viele Probleme lassen sich (scheinbar) nur durch „Probieren“ lösen.

Deshalb:  $P = \bigcup_{k \geq 1} \text{DTIME}(n^k)$  ist die Klasse der effizient lösbarer Probleme.

Bew: Die Klasse P ist sogar maschinenunabhängig, d.h. Polynomialzeit auf 1-Band TMs, multi-Band TM, C, RAMs, etc führt immer zur gleichen Klasse von Problemen.

Sogar die Kodierung von Problemen spielt keine Rolle, da „versünftige“ Kodierungen leicht ineinander umgewandelt werden können.  $\Rightarrow$  grobe Algorithmenbeschreibungen reichen aus!

Bsp:  $\text{PATH} = \{(G, s, t) \mid G \text{ ist ein gewichteter Graph mit Pfad von } s \text{ nach } t\}$

$\text{PATH} \in P$ , da

Eingabe:  $(G, s, t)$

- i) markiere s
- ii, wiederhole iii, solange noch Knoten markiert werden
- iii, für jede Kante  $(u,v)$ , u markiert und v unmarkiert markiere v
- iv, falls t markiert aber sonst ablehnen

Laufzeit: da ii, u. iii max. so oft durchlaufen wird, wie die Anzahl von Knoten von  $G$  und iv bis iv, nur einmal gibt es ein Polynom, das die Laufzeit beschränkt.

## 2.2. Die Klasse NP

Fakt: Für viele (praktisch relevante) kennt man nur Lösungsverfahren die alle potentiellen Möglichkeiten durchprobieren  
 $\Rightarrow$  exponentielle Zeit

Viele dieser Probleme können in nichtdet. polynomialer Zeit (vgl. NP) gelöst werden.

Es zeigt sich:

P = „effizient lösbar“ Probleme“

NP = „effizient überprüfbar“ Probleme“

Def: Eine Sprache A heißt effizient überprüfbar, falls es einen Algorithmus V gibt, sodass

$w \in A$  gdw es gibt ein  $y$ , sodass  $\langle w, y \rangle$  von V akz. wird. Die Laufzeit ist durch  $p(|w|)$ , p Polynom, beschränkt.

$y$  heißt Zeuge, Zertifikat oder Beweis für  $w \in A$ , wenn V  $\langle w, y \rangle$  akzeptiert.

Satz: Eine Sprache ist in NP genau wenn sie polynomial überprüfbar ist.

Beweis:

$\Rightarrow$ : Sei  $A = L(M)$  für die NTM  $M$ .

von M  
akz. Sprache      nicht det. TM

Idee zur Konstruktion der Verifizierers  $V$ :

- Ein Zertifikat für  $w \in A$  ist ein Pfad im Berechnungsbaum, der zu einer akz. Endkonfiguration führt.
- $V$  simuliert die Arbeitsweise von  $M$  auf einem gegebenen Pfad.

Eingabe:  $\langle w, y = y_1 y_2 y_3 \dots \rangle$

Simuliere  $M$  bei Eingabe  $w$ , wobei  $y$  die Beschreibung der nicht det. Wahlmöglichkeiten ist

D.h.  $y_i=0 \Rightarrow$  Im Schritt  $i$  wähle 1. nichtdet. Möglichkeit  
 $y_i=1 \Rightarrow$  \_\_\_\_\_ " \_\_\_\_\_ 2. \_\_\_\_\_ "

erh. mehr Möglichkeiten bei höherem Verzweigungsgrad

falls die Simulation akzeptiert: akzeptieren  
sonst: ablehnen

$\Leftarrow$ : Sei  $A$  polynomial-überprüfbar via  $V$ , wobei  $V$  eine det. TM mit Laufzeit  $n^k$ ,  $k > 0$  bei Eingaben  $\langle w, y \rangle$ ,  $|w| = n$ .

Nun wird eine nichtdet. TM  $M$  konstruiert, die  $A$  akz. und in Polynomialzeit erarbeitet, indem sie ein Zertifikat rät.

Eingabe:  $\omega$ ,  $|\omega|=n$

for ( $i=1$  to  $n^k$ ) {

/\* nicht det. Wahl \*/

$x_i = 0$ ; |  $x_i = 1$ ;

} simuliere  $V$  auf Eingabe  $\langle \omega, x_1 x_2 \dots \rangle$ ;

falls  $V$  akzeptiert: akzeptiere  
sonst : lehne ab #

Def: Der Graph  $(V, V \times V)$  heißt vollständiger Graph mit  $k$  Knoten, wenn  $\#V = k$ .

Bsp 1:  $\text{CLIQUE} = \{ \langle G, k \rangle \mid G \text{ ist ein ungerichteter Graph, der als Teilgraph einen vollständigen Graph mit } k \text{ Knoten enthält} \}$

$\text{CLIQUE} \in \text{NP}$ , da ein polynomial beschrankter Verifizierer  $V$  ex

Eingabe:  $\langle \langle G, k \rangle, X \rangle$

überprüfe, ob  $X$  eine Menge v. Knoten in  $G$ ;

überprüfe, ob  $\#X \geq k$ ; /\* Anzahl d. Knoten checken \*/

überprüfe, ob jedes Knotenpaar aus  $X \times X$  in  $G$  durch ein Kante verbunden ist;

falls ja akz, sonst abl.

Def: Sei  $G = (V, E)$  mit  $V = \{v_1, v_2, \dots, v_k\}$ . Ein Hamiltonscher Pfad von  $s$  nach  $t$  ist eine Folge von Kanten  $(v_{i_1}, v_{i_2}), (v_{i_2}, v_{i_3}), \dots, (v_{i_{n-1}}, v_{i_n})$ , wobei  $v_{i_j} \neq v_{i_k}$ , wenn  $j \neq k$ ,  $s = v_{i_1}$  und  $t = v_{i_n}$ . („jeder Knoten wird genau einmal besucht“)

Bsp 2:  $\text{HAMPATH} = \{ \langle G, s, t \rangle \mid \text{es gibt in } G \text{ einen Hamiltonschen Pfad von } s \text{ nach } t \}$

$\text{HAMPATH} \in \text{NP}$

Eingabe:  $\langle \langle G, s, t \rangle, X \rangle$

Überprüfe, ob  $X$  ein Pfad in  $G$  von  $s$  nach  $t$  kodiert und ob jeder Knoten genau einmal enthalten ist falls ja akz, sonst abl.

Bsp 3:  $SOS = \{ \langle \{x_1, \dots, x_n\}, t \rangle \mid x_1, \dots, x_n, t \in \mathbb{N} \text{ und es ex. } l \in \mathbb{N}, \text{ sodass } \{y_1, \dots, y_l\} \subseteq \{x_1, \dots, x_n\} \text{ mit } \sum_{i=1}^l y_i = t \}$

"Sum of Subset"

$SOS \in NP$ , da eine geeignete Teilmenge von Summanden ein Zertifikat ist

Bsp 4:  $SAT = \{ \langle H \rangle \mid H \text{ ist eine erfüllbare aussagenlogische Formel} \}$

$SAT \in NP$ , da eine erfüllende Belegung ein Zertifikat

Frage: Gilt für jedes  $A \in NP$  auch  $A \in P$ ?

Es sind Probleme aus  $NP$  bekannt, von denen man überzeugt ist, dass sie nicht zu  $P$  gehören.

Es zeigt sich sogar, dass die folgenden Aussagen gleichwertig sind

- i) CLIQUE  $\in P$
- ii) HAMPATH  $\in P$
- iii) SOS  $\in P$
- iv) SAT  $\in P$
- v)  $P = NP$

D.h. CLIQUE, SOS, HAMPATH und SAT sind „schwierigste“ Probleme in NP.

### 2.2.1 NP-Vollständigkeit

Def: Seien  $A \subseteq \Sigma^*$  und  $B \subseteq \Delta^*$  Sprachen. A heißt auf B in Polynomialzeit reduzierbar, falls es ein  $f: \Sigma^* \rightarrow \Delta^*$  gibt mit

- es gibt eine TM die in Polynomialzeit arbeitet und f berechnet, d.h.  $f \in \text{FP}$  (Funktionsklasse!)
- $\forall x \in \Sigma^* \text{ gilt } x \in A \Leftrightarrow f(x) \in B$

In Zeichen:  $A \leq_m^P B$

Die Reduktion wird auch Karp-Reduzierbarkeit oder many-one Reduzierbarkeit genannt.

Bem:

- one-one  $\Leftrightarrow$  injektiv
- many-one  $\Leftrightarrow$  nicht notwendigerweise injektiv

Lemma: Wenn  $A \leq_m^P B$  gilt, dann

- i, Ist  $B \in \text{NP}$ , dann  $A \in \text{NP}$
- ii, Ist  $B \in \text{P}$ , dann  $A \in \text{P}$

„A ist nicht schwerer als B“

Beweis:

- i) Sei  $A \leq_m^P B$  via  $f \in FP$  und nichtdet. TM  $M$  die  $B$  akzeptiert.

Eine nichtdet. Polynomialzeit TM für  $A$ :

Eingabe:  $x$

berechne  $y = f(x)$ ;

simuliere  $M$  mit Eingabe  $y$ ;

aber wenn Simulation abz., sonst lehne ab.

- ii) analog (deterministisch) #

Bem: Reduktionen sollen reflexiv und transitiv sein (Quasiordnung).

Proposition:  $\leq_m^P$  ist reflexiv und transitiv

Beweis:

reflexiv: vermöge der Identitätsfkt

transitiv: Sei  $A \leq_m^P B$  via  $f_1$  und  $B \leq_m^P C$  via  $f_2$ ,  
dann gilt  $A \leq_m^P C$  via  $f_2 \circ f_1 \in FP$ . #

Intuitiv:  $A \leq_m^P B$  bedeutet, dass  $A$  nicht schwerer als  $B$  ist.

Ziel: Definiere und unterscheide schwerste Probleme in NP

Def:

- i) Eine Sprache  $B$  ist NP-hart, falls für alle  $A \in NP$  gilt  $A \leq_m^P B$
- ii) Eine Sprache  $B$  ist NP-vollständig, falls  $B$  NP-hart ist und  $B \in NP$  gilt.

Proposition: Sei  $B$  NP-vollständig, dann gilt

$$B \in P \text{ gdw } P = NP$$

Beweis:

" $\Rightarrow$ " Sei  $B \in P$  und  $A \in NP$ . Da  $A \leq^P_m B$  gilt mit letzter Proposition  $A \in P$  und damit  $NP \subseteq P$ . Sowieso  $P \subseteq NP$ , d.h.  $P = NP$ .

" $\Leftarrow$ " Wenn  $P = NP$ , dann auch  $B \in P$ . #

Frage: Um die NP-Vollständigkeit eines Problems zu zeigen müssen unendlich viele Reduktionen untersucht werden.  $\Rightarrow$  geht das eigentlich?

Proposition: Sei  $B$  NP-vollständig und  $C \in NP$ . Falls  $B \leq^P_m C$ , so ist auch  $C$  NP-vollständig.

Beweis: Da für alle  $A \in NP$  gilt  $A \leq^P_m B$  und  $B \leq^P_m C$ , ergibt sich mit der Transitivität auch  $A \leq^P_m C$ .

Da  $C \in NP$  ist  $C$  NP-vollständig. #

Ziel: Wir müssen ein NP-vollständiges Problem finden, d.h. wir brauchen eine generische Reduktion die jedes Problem aus NP in dieses Problem überführt.

### 2.2.2. Der Satz von Cook / Levin

Satz: ( S. Cook, 1973 / L. Levin, 1973): SAT ist NP-vollständig.

Beweis: Wissen schon:  $\text{SAT} \in \text{NP}$

$\Rightarrow$  Zeige, dass für alle  $A \in \text{NP}$  gilt  $A \leq_m^r \text{SAT}$

Sei  $M$  eine nicht det. 1-Band TM, die  $A$  in Zeit  $n^k$  akzeptiert, wobei  $M = (Q, \Sigma, \delta, q_0, F)$ .

Sei  $w = x_1 \dots x_n$ ,  $|w| = n$ .

Ein Tableau  $T$  von  $M$  mit Eingabe  $w$  ist eine Tabelle mit  $n^k$  Zeilen und  $2n^k + 4$  Spalten, wobei

- jede Zeile beschreibt eine Konfiguration von  $M$ : Ist  $M$  im Zustand  $q$  mit Bandinhalt  $uv$  und steht der Kopf auf dem ersten Zeichen von  $v$ , dann wird dies durch den String  $\# u q v \#$  notiert.

$u$  und  $v$  werden links bzw rechts mit Leer symbolen aufgefüllt, sodass immer  $|uv| = 2n^k + 1$  gilt.

- Die erste Zeile entspricht der Start konfiguration

$$\# \underbrace{\square \square \dots \square}_{n^k} \underbrace{q_0 x_1 x_2 \dots x_n \square \square \dots \square}_{n^k+1} \#$$

$q_0$  ist der Start zustand

- Jede Zeile  $i+1$  von  $T$  geht aus der Zeile  $i$  durch einen Schritt von  $M$  hervor

- Ein Tableau heißt akzeptierend, wenn es eine Zeile enthält, die einer akzeptierenden Konfiguration entspricht.

Also:  $w \in A$  gdw es gibt ein akzeptierendes Tableau von  $M$  bei Eingabe  $M$

Nun soll eine Formel  $H$  konstruiert werden, so dass  $w \in A$  gdw  $H \in \text{SAT}$  ( $\Rightarrow$  Variablen mit Hilfe d. Tableaus kodieren)

Genauer: Für  $1 \leq i \leq u^k$ ,  $1 \leq j \leq 2u^k + 4$  und  $s \in \text{QuZuB}^\#$  gibt es eine Variable  $x_{i,j,s}$ .

$x_{i,j,s} = 1$  gdw in Zeile  $i$  und Spalte  $j$  steht  $s$

Kurzschreibweise Zelle  $[i,j] = s$

Die zu konstruierende Formel  $H$  ist erfüllbar durch eine Belegung  $I$  gdw das Tableau zu  $M$  bei Eingabe von  $w$  mit einer Zeile akzeptiert, die  $I$  entspricht.

$H$  hat die Form  $H = H_0 \wedge H_s \wedge H_a \wedge H_t$

Teilformel  $H_0$ : „Grenze eine Variable  $x_{i,j,s}$  ist auf 1 gesetzt“

$$\text{Zelle } [i,j] \text{ ist eindringlich} \left\{ \begin{array}{l} H_0 = \bigwedge_{\substack{1 \leq i \leq u^k \\ 1 \leq j \leq 2u^k + 4}} \left[ \left( \bigvee_{s \in \text{QuZuB}^\#} x_{i,j,s} \right) \wedge \left( \bigwedge_{t \in \text{QuZuB}^\#} (\neg x_{i,j,s} \vee \neg x_{i,j,t}) \right) \right] \end{array} \right.$$

Teilformel  $H_S$ : „Die erste Zeile kodiert die Startkonfiguration“

$$H_S = X_{1,1,\#} \wedge \bigwedge_{2 \leq j \leq n^k+1} X_{1,j,\square} \wedge X_{1,n^k+2,q_0} \wedge X_{1,n^k+3,x_1} \wedge \dots \wedge X_{1,n^k+2+n,x_n}$$

$$\wedge \bigwedge_{n^k+3+n \leq j \leq 2n^k+3} X_{1,j,\square} \wedge X_{1,2n^k+4,\#}$$

Teilformel  $H_A$ : „Irgendeine Zeile enthält einen akz. Zustand“

$$H_A = \bigvee_{\substack{1 \leq i \leq n^k \\ 1 \leq j \leq 2n^k+4 \\ S \in F}} X_{i,j,s}$$

Teilformel  $H_T$ : „Zwei aufeinanderfolgende Zeilen entsprechen einem Rechenschritt von  $M$ “

Dazu werden „Fenster“ der Größe  $2 \times 3$  im Tableau betrachtet. Ein Fenster heißt legal, wenn es der Übergangsfolge  $S$  nicht widerspricht.

i) Ist  $\delta(q, a) \rightarrow (p, b, N)$ , so ist 

c	q	a
c	p	b

 legal  
für  $c \in \Sigma \cup \{\#\}$

ii) Ist  $\delta(q, a) \rightarrow (p, b, R)$ , so ist 

c	q	a
c	b	p

 legal  
für  $c \in \Sigma \cup \{\#\}$

iii) Ist  $\delta(q, a) \rightarrow (p, b, L)$ , so ist 

c	q	a
p	c	b

 legal  
für  $c \in \Sigma \cup \{\#\}$

Zusätzlich gibt es noch zu i), ii), gehörige „Randfälle“

i)  $\begin{array}{|c|c|c|} \hline d & c & q \\ \hline d & c & p \\ \hline \end{array}, \begin{array}{|c|c|c|} \hline q & a & c \\ \hline p & b & c \\ \hline \end{array}, \begin{array}{|c|c|c|} \hline a & c & d \\ \hline b & c & d \\ \hline \end{array}$  sind legal

für alle  $c \in \Sigma, d \in \Sigma \cup \{\#\}$

ii)  $\begin{array}{|c|c|c|} \hline d & c & q \\ \hline d & c & b \\ \hline \end{array}, \begin{array}{|c|c|c|} \hline q & a & c \\ \hline b & p & c \\ \hline \end{array}, \begin{array}{|c|c|c|} \hline a & c & d \\ \hline p & c & d \\ \hline \end{array}$  sind legal

für alle  $c \in \Sigma, d \in \Sigma \cup \{\#\}$

iii)  $\begin{array}{|c|c|c|} \hline d & c & q \\ \hline d & p & c \\ \hline \end{array}, \begin{array}{|c|c|c|} \hline q & a & d \\ \hline c & b & d \\ \hline \end{array}, \begin{array}{|c|c|c|} \hline e & d & c \\ \hline e & d & p \\ \hline \end{array}$  sind legal

für alle  $c, d \in \Sigma, e \in \Sigma \cup \{\#\}$

Außerdem ist  $\begin{array}{|c|c|c|} \hline a & b & c \\ \hline a & b & c \\ \hline \end{array}$  legal für  $a, b, c \in \Sigma \cup \{\#\}$

$H_t = \bigwedge_{\substack{1 \leq i \leq n^k - 1 \\ 1 \leq j \leq 2n^k + 2}} [i, j]$  das Fenster, dessen linke obere Zelle die Koordinaten  $[i, j]$  hat ist legal

$= \bigwedge_{\substack{1 \leq i \leq n^k - 1 \\ 1 \leq j \leq 2n^k + 2}}$   $\checkmark (x_{i, j, a_1} \wedge x_{i, j+1, a_2} \wedge x_{i, j+2, a_3} \wedge \dots \wedge x_{i+n-1, j, a_6} \wedge x_{i+n, j+1, a_5} \wedge x_{i+n, j+2, a_6})$   
 $\begin{array}{|c|c|c|} \hline a_1 & a_2 & a_3 \\ \hline a_4 & a_5 & a_6 \\ \hline \end{array}$  ist legal

$\wedge x_{i+n+1, j, a_4} \wedge x_{i+n+1, j+1, a_5} \wedge x_{i+n+1, j+2, a_6})$

$\Rightarrow$  Tableau  $T$  besteht nur aus legaten Fenstern gdw alle Konfigurationen in  $T$  entsprechen einem möglichen Reckenweg von  $M$ .

Damit:  $\text{weA} \Leftrightarrow \text{H} \in \text{SAT}$

Die Transformation kann in polynomielles Zeit berechnet werden (z.B.  $|H| \leq p(|w|)$ ,  $p$ : Polynom)

Also:  $A \leq_m^P \text{SAT}$  und somit  $\text{SAT}$  NP-vollständig.

### 2.2.3 Weitere NP-vollständige Probleme

Def:  $3\text{SAT} =_{\text{def}} \{ H \mid H \text{ ist erfüllbare KNF-Formel, wobei jede Klausel genau 3 Literale enthält} \}$

Satz:  $3\text{SAT}$  ist NP-vollständig

Beweis: Da  $3\text{SAT} \subseteq \text{SAT} \in \text{NP}$  ist nur noch die NP-Härte zu zeigen.

Bew: Die im letzten Beweis konstruierte Formel ist (fast) in KNF.

$\Rightarrow$  Alle Klauseln in solche mit 3 Literalen wandeln

Fall # Literale < 3:

"Auffüllen" mit  $K \vee (y \wedge \neg y) \equiv (K \vee y) \wedge (K \vee \neg y)$

Fall # Literale > 3:

Klauseln wie folgt aufbrechen:

Sei  $K = (L_1 \vee L_2 \vee \dots \vee L_m)$ ,  $m > 3$  eine Klausel, dann werden neue Variablen  $z_1, \dots, z_{m-3}$  eingeführt und  $K$  wird ersetzt durch  $K' = (L_1 \vee L_2 \vee z_1) \wedge (z_1 \vee L_3 \vee z_2) \wedge (z_2 \vee L_4 \vee z_3) \wedge \dots \wedge (z_{m-3} \vee L_{m-1} \vee L_m)$ . Die so erzeugte Formel ist nicht unbedingt logisch äquivalent, aber die ursprüngliche Formel ist erfüllbar gdw. die neue Formel ist erfüllbar.  $\Rightarrow 3\text{SAT}$  ist NP-vollständig.

Satz: CLIQUE ist NP-vollständig.

Beweis: Wissen schon: CLIQUE  $\in$  NP

Zeigen:  $3\text{SAT} \leq_m^P \text{CLIQUE}$

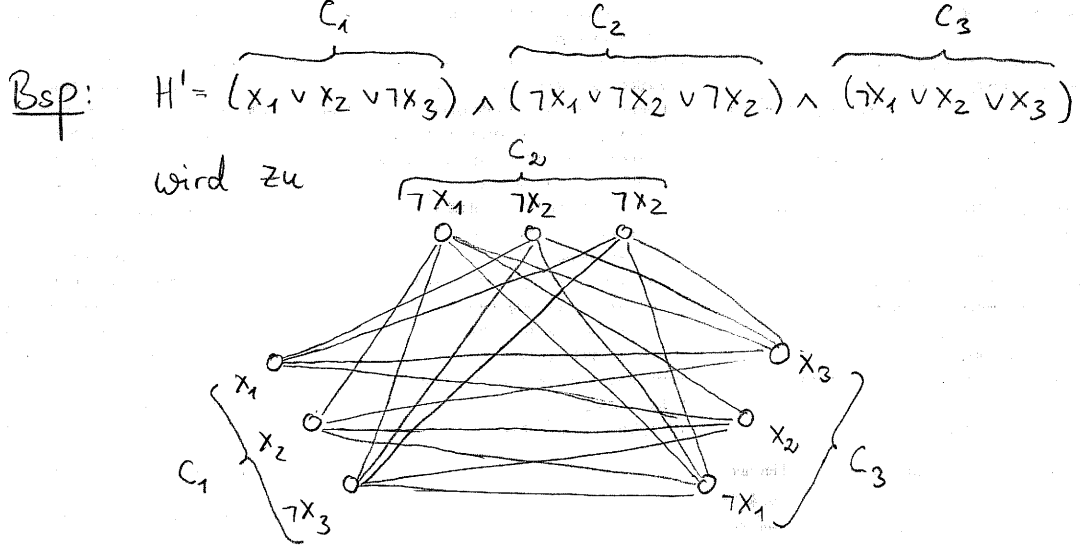
Sei  $H = (L_{1,1} \vee L_{1,2} \vee L_{1,3}) \wedge (L_{2,1} \vee L_{2,2} \vee L_{2,3}) \wedge \dots \wedge (L_{k,1} \vee L_{k,2} \vee L_{k,3})$

Nun wird ein ungerichteter Graph  $G_i = (V, E)$  wie folgt definiert:

$$V = \{L_{i,j} \mid 1 \leq i \leq k, 1 \leq j \leq 3\}$$

$$E = \{(L_{i,j}, L_{i',j'}) \mid i \neq i' \text{ und } L_{i,j} \neq \neg L_{i',j'}\}, \text{ d.h.}$$

$L_{i,j}$  und  $L_{i',j'}$  sind nicht konträr.



Beh:  $H$  erfüllbar gdw  $G$  hat eine Clique der Größe  $k$ .

$\Rightarrow$  Sei  $H$  erfüllbar vermöge  $I \models H$ .

Definiere  $V' \subseteq V$  durch: für  $1 \leq i \leq k$  enthält  $V'$  einen Knoten  $L_{i,j}$  mit  $I \models L_{i,j}$

Ein solcher Knoten ex., da  $I \models H$ , also  $I \models L_{i,1} \vee L_{i,2} \vee L_{i,3}$ .

Falls für ein  $i$  mehrere passende  $j$  ex., so wähle genau ein beliebiges solches  $j$  aus.

Dann gilt

$$i, \#V' = k$$

ii)  $V'$  ist eine Clique, denn für  $L_{i,j}, L_{i,j'} \in V'$  gilt  $i \neq i'$  (da nur ein Literal pro Klausel gewählt wurde) und  $L_{i,j}, L_{i',j'}$  sind nicht konträr, da  $I$  beide erfüllt  
 $\Rightarrow (L_{i,j}, L_{i',j'}) \in E$

Also ist  $(G, k) \in \text{CLIQUE}$

$\Leftarrow$  Sei  $V' \subseteq V$  eine Clique mit  $|V'| \geq k$ .

Falls  $L_{i,j}, L_{i',j} \in V'$ , dann

i)  $i \neq i'$

ii)  $L_{i,j}$  und  $L_{i',j}$  sind nicht konträr, da  
 $(L_{i,j}, L_{i',j}) \in E$ .

Nun wird die Belegung  $I$  wie folgt definiert

$I \models L_{i,j}$  gdw  $L_{i,j} \in V'$ . Es gilt

- $I$  ist konsistent wegen ii)
- $I \models H$ , da  $I \models L_{i,1} \vee L_{i,2} \vee L_{i,3}$  für  $1 \leq i \leq k$ ,  
wegen i)

Also  $H \in 3\text{SAT}$

Die Abbildung  $H \mapsto (G, k)$  ist polynomial zeit berechenbar, d.h.  $3\text{SAT} \leq_m^P \text{CLIQUE}$ .

Satz: HAMPATH ist NP-vollständig

Beweis: siehe Sipser.

Satz: SOS ist NP-vollständig

Beweis: siehe Sipser

"Selbststudium"

## 2.3. Approximationsalgorithmen

Frage: Wie geht man mit NP-vollständigen Problemen in der Praxis um?

i) Ein spezielles Problem suchen, dass für die praktische Anwendung ausreicht und evtl. nicht NP-vollständig ist.

ii) Heuristiken (z.B. greedy, evolutionäre Algorithmen, simulated annealing, Ameisenalgorithmen, ...)

Problem: Güte der Lsgen kann nicht garantiert werden.  
 $\Rightarrow$  „Besser als nichts“ Ansatz“

iii) Approximationsalgorithmen

Vorteil: Die Güte der Lsgen ist garantiert!

### 2.3.1. Optimierungsprobleme

Def: Ein Optimierungsproblem  $P$  ist ein 5-Tupel

$$P = (\mathcal{I}, \mathcal{Y}, \text{Sol}, m, \text{goal})$$

wobei

- $\mathcal{I}$  ist die Menge der Instanzen von  $P$
- $\mathcal{Y}$  ist die Menge der möglichen Lösungen
- $\text{Sol} \subseteq \mathcal{I} \times \mathcal{Y}$
- $m: \mathcal{I} \times \mathcal{Y} \rightarrow \mathbb{N}$  ist die Maßfunktion, dabei ist  $m(x, y)$  der Wat (Maß f. die Kosten) der Lsg  $y$  für die Instanz  $x$ .  $m$  ist total.

- $\text{goal} \in \{\min, \max\}$

Bem: Manchmal schreiben wir auch  $\mathcal{X}_3, \mathcal{Y}_3, m_3$  und  $\text{goal}_3$ , um hervor zu heben, dass Komponenten des Optimierungsproblems  $\mathcal{P}$  gemeint sind.

Bsp:  $\text{Min TSP} = (\mathcal{I}, \mathcal{Y}, \text{Sol}, m, \text{goal})$

- $\mathcal{I} = \{ \langle (d_{ij})_{1 \leq i,j \leq n} \rangle \mid n, d_{ij} \in \mathbb{N} \}$

"Menge der Distanzmatrizen"

- $\mathcal{Y} = S_n$  "Gruppe der Permutationen von  $n$  Elementen"

- Sei  $D \in \mathcal{I}$  und  $\pi \in S_n$ , sodass  $(D, \pi) \in \text{Sol}$ , dann ist  $\pi$  eine Rundreise für die Distanzmatrix  $D$ .

- $m(D, \pi)$  ist die Länge der Rundreise  $\pi$ , d.h.

$$m(D, \pi) = \sum_{i=1}^{n-1} d_{\pi(i), \pi(i+1)} + d_{\pi(n), \pi(1)}$$

- $\text{goal} = \min$

Def: Sei  $\mathcal{P} = (\mathcal{I}, \mathcal{Y}, \text{Sol}, m, \text{goal})$  ein Optimierungsproblem. Die Lsg  $y^* \in \mathcal{Y}$  heißt optimale Lsg zu  $x$ , falls

$$m(x, y^*) = \text{goal} \{ m(x, y) \mid (x, y) \in \text{Sol} \}$$

Weiterhin

$$\text{Sol}^*(x) = \{ y^* \in \mathcal{Y} \mid y^* \text{ ist optimale Lsg von } x \}$$

und

$$m^*(x) = \text{def } m(x, y^*) \text{ für ein } y^* \in \text{Sol}^*(x)$$

Def: Sei  $\mathcal{P} = (\mathcal{I}, \mathcal{Y}, \text{Sol}, m, \text{goal})$  ein Optimierungsproblem. Das Entscheidungsproblem zu  $\mathcal{P}$  ist

$$\mathcal{P}_D = \{(x, k) \mid x \in \mathcal{I}_S, k \in \mathbb{N} \text{ und}$$

$$m^*(x) \leq k, \text{ falls } \text{goal}_{\mathcal{P}} = \min$$

$$m^*(x) > k, \text{ falls } \text{goal}_{\mathcal{P}} = \max\}$$

Bsp: Das Entscheidungsproblem zu MinTSP ist TSP.

Def: Ein Optimierungsproblem  $\mathcal{P} = (\mathcal{I}, \mathcal{Y}, \text{Sol}, m, \text{goal})$  gehört zur Klasse NPO, wenn gilt:

i,  $\mathcal{I} \in P$ , d.h. die Menge der Instanzen ist in Polynomialzeit entscheidbar

ii, es gibt ein Polynom  $p$ , sodass f.a.  $x \in \mathcal{I}$  und alle  $y \in \mathcal{Y}$  mit  $(x, y) \in \text{Sol}$  gilt  $|y| \leq p(|x|)$

iii,  $\{(x, y) \mid (x, y) \in \text{Sol}\} \in P$  effizient überprüfbar

iv,  $m \in FP$ , d.h. polynomialzeit berechenbar

Bsp  $\text{MinTSP} \in \text{NPO}$

Bew: Sei  $\mathcal{P} \in \text{NPO}$ , dann gilt  $\mathcal{P}_D \in \text{NP}$

Beweis: Sei  $\beta = (\mathcal{I}, \mathcal{G}, \text{Sol}, m, \text{goal})$  und  $\beta \in \text{NPO}$ .

Für den Fall eines Minimierungsproblems gilt:

Eingabe:  $x \in \mathcal{I}_\beta$ ,  $k \in \mathbb{N}$

rate nichtdet. alle  $y$  mit  $|y| \leq p(x)$ , wobei  
 $p$  das Polynom aus obige Defi

if  $(x, y) \in \text{Sol}$  then

if  $m(x, y) \leq k$  then

akzeptieren;

endif;

endif;

lehne ab.

Analog für Maximierungsprobleme. #

Def: Ein Optimierungsproblem  $\beta \in \text{NPO}$  gehört zur Klasse PO, falls einen det. Polynomialzeitalgorithmus gibt, der zu  $x \in \mathcal{I}_\beta$  ein bel.  $y$  berechnet, sodass  $y \in \text{Sol}^*(x)$ .

Satz:  $P = NP$  gdw  $PO = NPO$

Beweis: " $\Leftarrow$ " Ist  $NPO = PO$ , dann gilt  $\text{MinTSP} \in PO$ ,  
also  $\text{TSP} \in P$ . Deshalb  $P = NP$

" $\Rightarrow$ " hier nicht. #

Sprechweise: Ein Optimierungsproblem  $\beta$  heißt NP-hart, wenn jedes Problem aus NP durch Umwandelungen der Form " $y \in \text{Sol}^*(x)$ " und " $K = m^*(x)$ " gelöst werden kann.

(Formal: Jedes Problem aus NP ist Turing-reduzierbar auf  $\beta$ )

Def: Sei  $\mathcal{P} = (\mathcal{X}, \mathcal{Y}, \text{Sol}, m, \text{goal})$  ein Optimierungsproblem. Ein Algorithmus  $A$  heißt Approximationsalgorithmus, wenn er bei Eingabe  $x \in \mathcal{X}$  eine Lösung  $A(x) \in \mathcal{Y}$  berechnet.

$$\text{Schreibweise: } m_A(x) = m_{\mathcal{P}}(x, A(x))$$

Ab jetzt:

- Approximationsalgorithmen arbeiten immer in Polynomialzeit

- Die Ausgabe eines Approximationsalgorithmus liegt nicht „weit“ vom Optimum weg:

$$\begin{aligned} \Rightarrow \text{goal} = \min : & \quad \frac{m_A(x)}{m^*(x)} \\ \Rightarrow \text{goal} = \max : & \quad \frac{m^*(x)}{m_A(x)} \end{aligned} \quad \left. \begin{array}{l} \text{nach oben beschränken} \\ \text{nach unten beschränken} \end{array} \right\}$$

Def: Sei  $\mathcal{P} = (\mathcal{X}, \mathcal{Y}, \text{Sol}, m, \text{goal})$  ein Optimierungsproblem,  $x \in \mathcal{X}$  und  $y \in \mathcal{Y}$ , sodass  $(x, y) \in \text{Sol}$ .

Die Performanz(-rate) von  $y$  (bzw.  $x$ ) ist dann

$$R_p(x, y) = \begin{cases} \frac{m(x, y)}{m^*(x)}, & \text{falls goal} = \min \\ \frac{m^*(x)}{m(x, y)}, & \text{falls goal} = \max \end{cases}$$

$$= \max \left\{ \frac{m(x, y)}{m^*(x)}, \frac{m^*(x)}{m(x, y)} \right\}$$

(41)

Klar:  $R(x, y) = 1$  gdw  $y \in \text{Sol}^*(x)$ . Für  $y \notin \text{Sol}^*(x)$   
kann  $R(x, y)$  beliebig groß werden.

Def: Sei  $\mathcal{P} = (\mathcal{L}, \mathcal{G}, \text{Sol}, m, \text{goal})$  ein Optimierungsproblem und  $A$  ein Approximationsalgorithmus für  $\mathcal{P}$ . Die Performance(-rate) von  $A$  (bzw.  $\mathcal{P}$ ) ist

$$R_A(x) = \inf R_{\mathcal{P}}(x, A(x))$$

Sei  $r: \mathbb{N} \rightarrow \mathbb{Q}$ .  $A$  heißt  $r$ -Approximationsalgorithmus für  $\mathcal{P}$ , falls

$$\max_{|x|=n} R_A(x) \leq r(n)$$

Bem: Natürlich kann  $r$  auch eine Konstante sein.

### 2.3.1. Das Problem des Handlungs-reisenden

Satz: Falls  $P \neq NP$ , dann gibt es kein  $c > 1$ , sodass für MinTSP ein  $c$ -Approximationsalgorithmus existiert.

Beweis: Annahme: Es existiert ein  $c$ -Approximationsalgorithmus  $A$  für MinTSP.

Ziel: Benutzen HAMCIRC, das NP-vollständig ist

Hamiltonkreisproblem

$\left\{ \begin{array}{l} \text{HAMCIRC} = \{ G \mid G_i = (\{v_1, \dots, v_n\}, E) \text{ graph} \\ \text{und es gibt einen Pfad } \\ (v_{i_1}, v_{i_2}), \dots, (v_{i_{n-1}}, v_{i_n}), \\ (v_{i_n}, v_{i_1}), v_{ij} \neq v_{ik} \text{ wenn } j \neq k \\ \text{und } v_{i_1} = v_1 \} \text{ "Kreis der alle} \\ \text{Knoten genau einmal enthält"} \end{array} \right.$

und zeigen, dass dann  $HAMCIRC \in P$   
 $\Rightarrow$  Widerspruch zur Annahme  $P \neq NP$

Algorithmus für HAMCIRC:

Eingabe:  $G_i = (V, E)$  mit  $V = \{v_1, \dots, v_n\}$

(43)

$$\text{sei } d_{ij} = \begin{cases} 1, & \text{falls } (v_i, v_j) \in E \\ 1+n.c, & \text{sonst} \end{cases}$$

simuliere A auf Eingabe  $x = \langle d_{ij}, n \rangle$ ;

aber wenn  $m_A(x) = n$ .

$G \in \text{HAMCIRC}$ : Dann hat die Instanz  $x$  von MINTSP eine Lsg mit Maß  $n$  und diese ist optimal  
 $m^*(x) = n$ .

Jede nicht-optimale Lsg hat Maß

$$\underbrace{n-1}_{\text{"gute Kanten"}^{\circ}} + \underbrace{1+c.n}_{\text{"schlechte Kanten"}^{\circ}} = (c+1) \cdot n, \text{ d.h.}$$

die Performance einer nicht-optimalen Lsg ist  $c+1 \Rightarrow A$  berechnet die optimale Lsg und obiger Algorithmus akzeptiert.

$G \notin \text{HAMCIRC} : \Rightarrow m^*(x) \geq (c+1) \cdot n$

$$\Rightarrow m_A(x) \geq (c+1) \cdot n, \text{ d.h.}$$

obiger Algorithmus lehnt ab.

Der angegebene Algorithmus entscheidet HAMCIRC in polynomiale Zeit  $\nmid \Rightarrow$  es gibt keinen  $c$ -Approximationsalgorithmus für MINTSP, wenn  $P \neq NP$ . #

Idee: Schränke MinTSP geeignet ein.

PROBLEM: Min MTSP (metric TSP)

EINGABE:  $\langle (d_{ij})_{1 \leq i,j \leq n} \rangle$  mit  $n, d_{ij} \in \mathbb{N}$  und für  $i, j, k \in \{1, \dots, n\}$  gilt

$$d_{i,j} = d_{j,i} \text{ "Symmetrie"}$$

$$d_{i,j} + d_{j,k} \geq d_{i,k} \text{ "Dreiecksungleichung"}$$

LÖSUNG:  $\pi \in S_n$

$$\text{Map: } \sum_{i=1}^{n-1} d_{\pi(i), \pi(i+1)} + d_{\pi(n), \pi(1)}$$

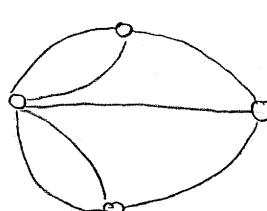
Bem: • Eine nicht negative Funktion  $g(x,y)$ , die symmetrisch ist,  $g(x,x)=0$  und die Dreiecksungleichung erfüllt, heißt Metric ( $\hat{=}$  „Abstände“ zwischen Punkten messen).

Eine Menge  $S$  mit einer da zugehörigen Metric heißt metrischer Raum.

- Min MTSP<sub>D</sub> ist weiterhin NP-vollständig

Frage: Kann man Min MTSP besser approximieren?

Def: Ein Multigraph ist ein Paar  $G = (V, E)$ , wobei  $V$  eine Knotenmenge und  $E$  eine Kantenmultimenge, d.h. zwischen zwei Knoten kann mehr als eine Kante verlaufen



„Brückenproblem“

Def: Ein Eulerpfad in  $G$  ist ein Pfad  $v_1, v_2, \dots, v_m$  mit  $\{v_i, v_{i+1}\} \in E$ ,  $1 \leq i < m$ , wobei jede Kante genau einmal besucht wird (Knoten können beliebig oft besucht werden). Ein Eulerkreis ist ein Eulerpfad mit gleichen Start- und Endknoten.

Eulerpfade - und kreise können, wenn existent, in Polynomialzeit berechnet werden.

Def: Ein gewichteter Graph ist ein Graph mit Gewichten auf den Kanten, d.h. ein Tripel  $G = (V, E, D)$ , wobei  $(V, E)$  ein Graph ist und  $D = (d_{u,v})_{(u,v) \in E} \in \mathbb{N}$  die Gewichte der Kanten.

Def: Ein Spannbaum in einem Graphen  $G$  ist ein Teilgraph  $G' = (V, E')$  mit  $E' \subseteq E$ , der ein Baum ist. (ein Spannbaum enthält alle Knoten des ursprünglichen Graphen)

Ein minimales Spannbaum in einem gewichteten Graphen  $G = (V, E, D)$  ist ein Spannbaum  $G' = (V, E')$  in  $(V, E)$  mit minimalem Gewicht.

- Bem:
- Diese Definitionen können analog auch auf Multigraphen übertragen werden.
  - Minimale Spannbäume können in Polynomialzeit berechnet werden.

### Algorithmus Tree TSP:

Eingabe :  $D = (d_{i,j})_{1 \leq i,j \leq n}$ , Instanz von Min MTSP

Sei  $\overset{G}{D} = (V, E, D)$  gewichteter Graph mit  
 $V = \{1, \dots, n\}$  und  $E = V \times V$

berechne minimalen Spannbaum  $T = (V, E_T)$  in  $G$ ;

sei  $M = (V, E'_T)$  der Multigraph in dem jede  
 Kante von  $T$  genau zweimal vorkommt;

berechne einen Eulerkreis  $W = \{v_1, v_2, \dots, v_k\}$  in  $M$ ;

berechne aus  $W$  eine Rundreise wie folgt:

von jedem Knoten nur das erste Vorkommen

lassen alle anderen löschen, also

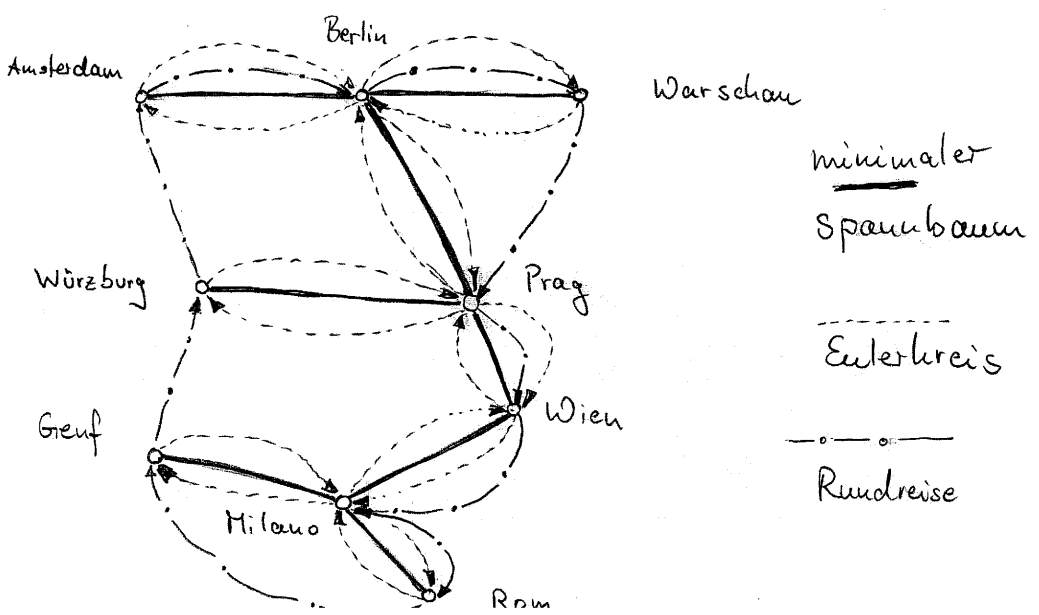
$(v'_1, v'_2, \dots, v'_n)$ , wobei  $v'_1 = v_1$  und

$v'_i =$  der Knoten  $v_k$ , so dass  $\{v_1, \dots, v_{k-1}\}$

$= \{v'_1, \dots, v'_{k-1}\} \subsetneq \{v_1, \dots, v_k\}$

return  $(v'_1, \dots, v'_n, v_1)$ .

Bsp:



Satz: Tree TSP ist ein 2-Approximation algorithmus für Min MTSP

Beweis: Sei  $x = D = (d_{i,j})$  eine Instanz von Min MTSP

Jede TSP-Rundreise in  $D$  geht in einen Spannbaum über, wenn eine Kante aus ihr entfernt wird.

Also gilt:

$$\text{Gewicht der Kanten in } T \leq m^*(x)$$

$$\text{Gewicht der Kanten in } M \leq 2 \cdot m^*(x)$$

Gewicht der Kanten in der Rundreise  $\leq 2 \cdot m^*(x)$ , da diese Kanten ja eine Abkürzung darstellen.  
dies

$$\Rightarrow m_{\text{Tree TSP}}(x) \leq 2 \cdot m^*(x)$$

#

Eine kleine Modifikation führt zum besten bekannten Algorithmus, der für Min MTSP bekannt ist.

Def: Sei  $G = (V, E)$  ein Graph. Eine Mengenmenge  $M \subseteq E$  heißt Matching (von  $G$ ), wenn zwei verschiedene Kanten aus  $M$  keinen gemeinsamen Knoten haben, d.h.  $(u, v), (u', v') \in M$  und  $(u, v) \neq (u', v')$ , dann  $\{u, v\} \cap \{u', v'\} = \emptyset$

Ein Matching  $M$  heißt perfekt (oder vollständig), falls  $\#M = \frac{1}{2}\#V$ , d.h. jeder Knoten kommt als Endpunkt einer Kante in  $M$  vor.

Bem: Perfekte Matchings mit minimalem Gewicht sind in Polynomialzeit berechenbar.

Algorithmus von Christofides:

Eingabe:  $D = (d_{i,j})_{1 \leq i,j \leq n}$ , Instanz von Min MTSP

seit  $G = (V, E, D)$  der gewichtete Graph und  $T = (V, E_T)$  der minimale Spannbaum wie im Tree TSP;

seit  $C \subseteq V$  die Menge der Knoten mit ungeradem Grad;

seit  $G' = (C, E_C)$  der Teilgraph mit  $E_C = E \cap (C \times C)$ ;

seit  $H$  ein perfektes Matching mit minimalem Gewicht in  $G'$ ;

/\*  $\#C = 2 \cdot k$ , da die Summe aller Grade gerade ist, also

ex. ein perfektes Matching \*/

gerade Grad von eins f. ungerade Knoten

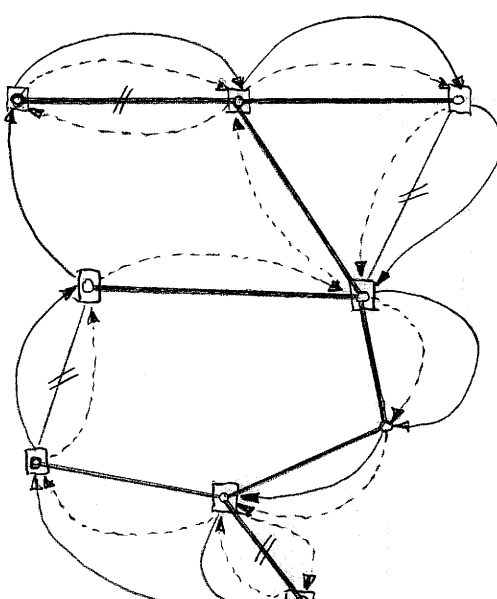
bestimme einen Eulerkreis  $\mathcal{W}$  im Multigraphen  $M = (V, E_T \cup H)$ ,

/\*  $M$  enthält nur Knoten mit geradem Grad  $\Rightarrow$  Eulerkreis ex. \*/

gewinne Tour  $P = (v'_1, \dots, v'_n)$  indem in  $\mathcal{W}$  nur erste Vorkommen von Knoten berücksichtigt werden;

return  $(v'_1, \dots, v'_n, v'_1)$ .

Bsp: (analog zu letztem Beispiel)



minimales  
Spannbaum  
//  
//

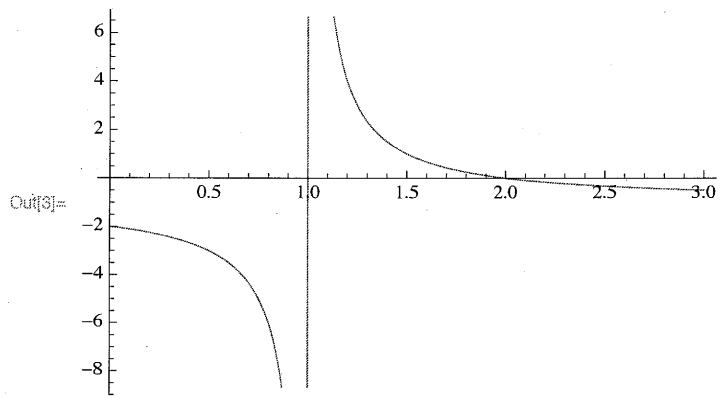
Kante im Matching

□ ungerader  
Knoten

→ Eulerkreis

TSP - Rundreise

In[3]:= Plot[(2 - x) / (x - 1), {x, 0, 3}]



Satz: Der Algorithmus von Christofides ist ein  $3/2$ -Approximationsalgorithmus für Min MTSP.

Beweis: vgl. Ausiello et.al., Complexity and Approximation #

### 2.3.2. Das Partitionierungsproblem

PROBLEM: Minimum Partition (Min PART)

INSTANZ:  $\langle a_1, \dots, a_n \rangle$ ,  $a_i \in \mathbb{N}^+$

LÖSUNG: Mengen  $Y_1, Y_2$  mit  $Y_1 \cup Y_2 = \{1, \dots, n\}$ ,  $Y_1 \cap Y_2 = \emptyset$

MAB:  $\max \left\{ \sum_{i \in Y_1} a_i, \sum_{i \in Y_2} a_i \right\}$

Bem: Das Problem  $\text{MinPART}_D$  ist NP-vollständig, also ist Min PART NP-hart.

Algorithmus Part AS:

Eingabe:  $\langle a_1, \dots, a_n \rangle$  mit  $a_i \in \mathbb{N}^+$ ,  $r > 1$

if  $r \geq 2$  then

return  $Y_1 = \{1, \dots, n\}$ ,  $Y_2 = \emptyset$ ;

else

sortiere Eingabe; /\* o.B.d.A.  $a_1 \geq a_2 \geq \dots \geq a_n$  \*/

$$k_r = \left\lceil \frac{2-r}{r-1} \right\rceil$$

finde optimale Partition  $Y_1, Y_2$  von  $\langle a_1, \dots, a_{k_r} \rangle$  durch Ausprobieren aller Lsgen;

for  $j = k_r + 1$  to  $n$  do

if  $\sum_{i \in Y_1} a_i \leq \sum_{i \in Y_2} a_i$  then

```

 $y_1 = y_1 \cup \{j\};$ 
else
 $y_2 = y_2 \cup \{j\};$ 
endif;
endfor;
return ( $y_1, y_2$ ).

```

Satz: Bei Eingabe einer Instanz  $x \in \mathbb{I}_{\text{MinPART}}$ ,  $x = \langle a_1, \dots, a_n \rangle$  und  $r > 1$  liefert PartAS eine Lösung mit Performanzrate  $\leq r$ .

Beweis: Für  $Z \subseteq \{1, \dots, n\}$  sei  $w(Z) = \sum_{i \in Z} a_i$  und  $X = \{1, \dots, n\}$

Sei nun  $r > 2$  und  $(y_1, y_2)$  eine bel. Lsg. zu  $x$ . Es gilt:

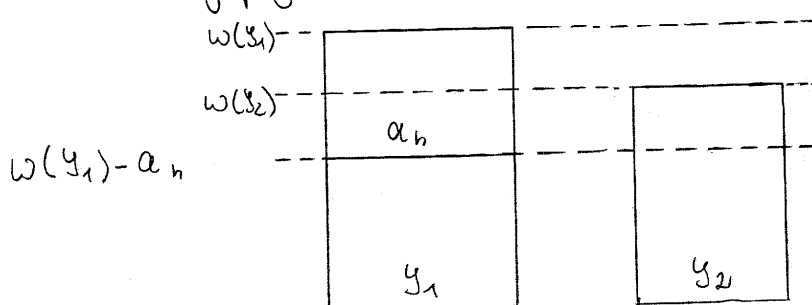
$$i, m(x, (y_1, y_2)) \geq \underbrace{\frac{1}{2} w(X)}_{\substack{\text{optimale Lsg} \\ \text{kann nicht kleiner sein}}}$$

$$ii, m(x, (x, \emptyset)) = w(X)$$

$$\text{Also } R(x, (x, \emptyset)) \leq 2 \leq r.$$

Sei nun  $r < 2$  und  $(y_1, y_2)$  die von PartAS berechnete Lsg. O.B.d.A.  $w(y_1) \geq w(y_2)$ .

Sei  $n \in X$  die Zahl, die als letztes zu  $y_1$  hinzu-  
gefügt wurde:



(51)

Es gilt:  $\omega(y_1) - a_n \leq \omega(y_2)$ .

Also:  $2\omega(y_1) - a_n \leq \omega(y_1) + \omega(y_2) = \omega(x)$

$$\Leftrightarrow \omega(y_1) \leq \frac{\omega(x) + a_n}{2} \quad (*)$$

Fall  $n \leq k_r$ : d.h.  $y$  wurde zu  $y_1$  bei der optimalen Aufteilung von  $a_1, \dots, a_{k_r}$  hinzugefügt.

$\Rightarrow$  in der for-Schleife wurde nur  $y_2$  erweitert, dann  $y$  wurde zuletzt zu  $y_1$  hinzugefügt

Also ist die  $Lsg(y_1, y_2)$  optimal (sie war schon optimal für  $\langle a_1, \dots, a_{k_r} \rangle$ )

Fall  $n > k_r$ : Es gilt  $a_j > a_{k_r}$  für  $1 \leq j \leq n$ , da die Eingabe absteigend sortiert wurde.

Also  $\omega(x) \geq (k_r+1) \cdot a_n$  und damit

$$\frac{a_n}{\omega(x)} \leq \frac{1}{k_r+1} \quad (**) \\ \underbrace{2\omega(y_2)}_{\omega(y_1) + \omega(y_2) = \omega(x)} \leq \omega(x)$$

Weiterhin gilt  $\underbrace{\omega(y_1)}_{\omega(y_1) + \omega(y_2) = \omega(x)} \geq \frac{1}{2}\omega(x) \geq \omega(y_2)$ , also  
 $\omega(y_1) + \omega(y_2) = \omega(x)$   
 $\Rightarrow 2\omega(y_1) \geq \omega(x)$ , da  
 $\omega(y_1) \geq \omega(y_2)$

Ist  $m^*(x) \geq \frac{1}{2}\omega(x)$  (\*\*\*)

Zusammen:

$$R_{PartAS}(x) = \frac{m(x, (y_1, y_2))}{m^*(x)} = \frac{\omega(y_1)}{m^*(x)}$$

$$\stackrel{(***)}{\leq} \frac{\omega(y_1)}{\frac{1}{2}\omega(x)} \stackrel{(*)}{\leq} \frac{\omega(x) + a_n}{2 \cdot \frac{1}{2}\omega(x)} \\ = 1 + \frac{a_n}{\omega(x)} \stackrel{(**)}{\leq} 1 + \frac{1}{k_r+1}$$

$$\leq 1 + \frac{1}{\frac{2-r}{r-1} + 1} = r. \quad \#$$

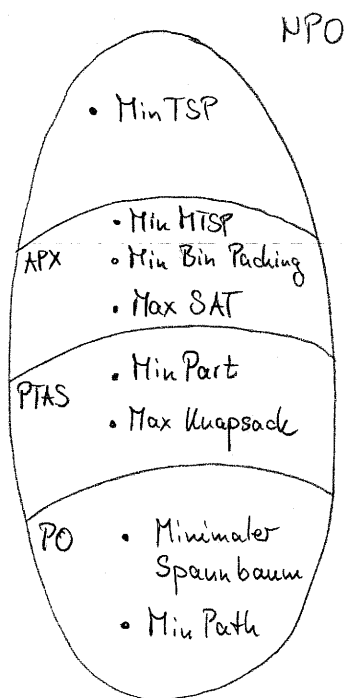
Damit gibt es für jede beliebige Zahl  $r > 1$  einen (Polynomialzeit-) Approximationsalgorithmus für Min PART mit Performanzrate  $\leq r$ .

Alle Probleme mit dieser Eigenschaft werden zur Klasse PTAS („polynomial time approximation scheme“) zusammen gefasst.

APX ist die Klasse aller Probleme mit einem  $c$ -Approximationsalgorithmus für  $c \geq 1$ ,  $c \in \mathbb{Q}$

Sei nun  $P \neq NP$  angenommen, dann ergibt sich folgendes

Bild



### 3. Berechenbarkeitstheorie

Literatur: Hartley Rogers, Theory of Recursive Functions and Effective Computability

#### 3.1. Das Halteproblem

Für diesen Abschnitt halten wir eine bel. Gödelisierung von TMs fest. Sei  $\hat{M}$  eine bel. TM, dann

$$M_w = \text{def} \begin{cases} M, & \text{falls } w \text{ Gödelnummer von } M \\ \hat{M}, & \text{sonst} \end{cases}$$

Def: Die Menge

$$H =_{\text{def}} \{w \mid M_w \text{ hält mit Eingabe } w\}$$

heißt spezielles Halteproblem.

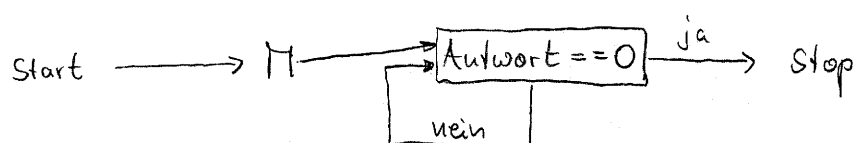
Satz: Das spezielle Halteproblem ist nicht entscheidbar.

Beweis: Angenommen  $H$  wäre entscheidbar, dann wäre die charakteristische Fkt

$$c_H(w) = \begin{cases} 1, & \text{falls } w \in H \\ 0, & \text{sonst} \end{cases}$$

berechenbar vermöge  $M$ . Sei

$M'$ :



mit der Gödelnummer  $w'$ , dann

$M'$  hält auf  $w'$  gdw  $M$  gibt mit  $w'$  0 aus

$$\text{gdw } C_H(w') = 0$$

$$\text{gdw } w' \notin H$$

gdw  $M_{w'}$  hält auf  $w'$  nicht

gdw  $M'$  hält auf  $w'$  nicht

$\Rightarrow M$  kann nicht ex., d.h.  $H$  ist nicht entscheidbar. #

Def: Seien  $A \subseteq \Sigma^*$  und  $B \subseteq \Gamma^*$  Sprachen. Dann heißt  
 $A$  auf  $B$  reduzierbar (hier:  $A \leq_m B$ ), wenn  
 eine berechenbare Fkt  $f: \Sigma^* \rightarrow \Gamma^*$  mit  
 $x \in A \text{ gdw } f(x) \in B$ .

Proposition: gilt  $A \leq_m B$  und  $A$  unentscheidbar, dann  
 ist auch  $B$  unentscheidbar.

Def:  $H_1 = \underset{\text{def}}{\{w \# x \mid M_w \text{ hält bei Eingabe } x \text{ an}\}}$   
 (allgemeines Halteproblem)

Satz:  $H_1$  ist nicht entscheidbar.

Beweis:  $f(w) = w \# w$  zeigt  $H \leq_m H_1$ . Die Beh. folgt  
 mit der letzten Proposition. #

Def:  $H_0 = \{ w \mid M_w \text{ hält mit leerem Band} \}$

Satz:  $H_0$  ist nicht entscheidbar.

Beweis: Reduzieren  $H$  auf  $H_0$  vermöge  $f$ :

Eingabe von  $f$ :  $w \# x$

berechne Turing program von  $w$ ;  
füge vor das Turing prg. Befehl ein, die  
 $x$  auf das Band schreiben;  
berechne Gödelnummer dieser neuen  
Maschine.

Klar:  $w \# x \in H$ , gdw  $f(w \# x) \in H_0$  und damit  
ist  $H_0$  unentscheidbar. #

Def: Eine Sprache  $A \subseteq \Sigma^*$  heißt semi-entscheidbar,  
wenn die Fkt

$$c'_A(w) = \begin{cases} 1, & \text{falls } w \in A \\ \text{undif}, & \text{sonst} \end{cases}$$

berechenbar ist. D.h. eine Maschine, die  $c'_A$  berechnet,  
hält für Eingaben  $w \notin A$  nie an.

Satz: Eine Sprache  $A$  ist entscheidbar gdw.  $A$  und  $\bar{A}$  semi-entscheidbar sind.

Beweis:

$\Rightarrow$  " Da  $A$  entscheidbar ist, ex. eine TM  $M$ , die  $c_A$  berechnet. Einfügen einer Endlosschleife liefert  $c'_A$  und  $c'_{\bar{A}}$ .

$\Leftarrow$  " Sei  $M_1$  die Maschine für  $c'_A$  und  $M_2$  die für  $c'_{\bar{A}}$ . Dann entscheidet

$s = 1;$

while(1) {

if ( $M_1$  stoppt nach  $s$  Schritten) return 1;

if ( $M_2$  stoppt nach  $s$  Schritten) return 0;

$s = s + 1;$

endwhile.

#

Korollar:  $\overline{H}_1$ ,  $\overline{H}_2$  und  $\overline{H}_0$  sind nicht semi-entscheidbar.

Beweis: Die Simulation der gegebenen TMs liefert direkt die Semi-entscheidbarkeit von  $\overline{H}_1$ ,  $\overline{H}_2$  und  $\overline{H}_0$ .

#

Frage: Kann das Halteproblem vielleicht mit einem anderen Berechnungsmodell gelöst werden?

These von Church: Die durch die formale Definition der Turing-Berechenbarkeit (RAM-Berechenbarkeit, ...) festgelegte Klasse von Funktionen stimmt genau mit der im intuitiven Sinn berechenbaren Flchen überein.

⇒ Auch mit anderen Berechenbarkeitsmodellen bleibt das Halteproblem unentscheidbar.

### 3.2. Der Satz von Rice

Satz: Sei  $\text{TM}$  die Menge aller Turing-berechenbaren Flchen und  $S \subseteq \text{TM}$ , wobei  $S \neq \emptyset$  und  $S \neq \text{TM}$ .

Dann ist die Menge

$$C(S) =_{\text{def}} \{\omega \mid \text{die von } M_\omega \text{ berechnete Flt liegt in } S\}$$

unentscheidbar.

Bsp: Sei  $S_1 = \{f \mid f \text{ verdoppelt die Eingabe}\}$ , dann ist

$C(S_1)$  unentscheidbar.

D.h. nahezu jede semantische Eigenschaft von Turing-Maschinen ist unentscheidbar.

Beweis: Sei  $\Omega$  die überall undefinierte Fkt, die durch while (1); /\* hält nie \*/ berechnet wird.

Fall  $Q \in S$ : Sei  $f \in TM \setminus S$  und  $Q$  eine TM, die  $f$  berechnet.

Sei nun  $w$  eine Gödelnummer, dann arbeitet TM  $M$  wie folgt:

angesetzt auf Eingabe  $y$  wird  $y$  ignoriert;

verhalte dich wie  $M_w$ ;

falls  $M_w$  hält, so verhalte dich wie  $Q$ .

$M$  berechnet also folgende Fkt  $f'$

$$f' = \begin{cases} \Omega, & \text{falls } M_w \text{ stoppt auf leerem Band nicht} \\ f, & \text{sonst} \end{cases}$$

Klar: Die Abbildung  $g$ , die  $w$  die Maschine  $M$  zuordnet ist berechenbar.

$w \in H_0 \Rightarrow M_w$  stoppt mit leerem Band

$\Rightarrow M$  berechnet  $f$

$\Rightarrow$  die von  $M_{g(w)}$  berechnete Fkt liegt nicht in  $S$

$\Rightarrow g(w) \notin C(S)$

$w \notin H_0 \Rightarrow M_w$  stoppt nicht mit leerem Band

$\Rightarrow M$  berechnet  $\Omega$

$\Rightarrow$  die von  $M_{g(w)}$  berechnete Fkt liegt in  $S$

$\Rightarrow g(w) \in C(S)$

Damit  $H_0 \subseteq C(S)$  und da  $H_0$  nicht entscheidbar, gilt dies auch für  $C(S)$

Fall  $\Omega \neq S$ : Zeige analog  $H_0 \subseteq_m C(S)$ .

$\Rightarrow$  In allen Fällen gilt  $H_0 \subseteq_m C(S)$  und damit ist  
 $C(S)$  immer unentscheidbar.

nicht semi-entscheidbar sein kann, da  $H_0$  semi-entscheidbar ist (für eine Eingabe  $\omega$  simulieren wir einfach die Maschine  $M_\omega$  mit dem leeren Band als Eingabe). Mit Hilfe von  $H_0$  wollen wir nun den Satz von Rice zeigen:

**Satz 2.25 (Satz von Rice)** Sei  $\mathcal{T}\mathcal{M}$  die Menge aller Turing-berechenbaren Funktionen und sei  $S \subseteq \mathcal{T}\mathcal{M}$ , wobei  $S \neq \emptyset$  und  $S \neq \mathcal{T}\mathcal{M}$ . Dann ist die Menge

$$C(S) =_{\text{def}} \{\omega \mid \text{die von } M_\omega \text{ berechnete Funktion liegt in } S\}$$

unentscheidbar.

**Beispiel 2.26** Sei  $S = \{S \mid f \text{ ist eine konstante Funktion}\}$ . Dann ist

$$C(S) = \{\omega \mid M_\omega \text{ berechnet eine konstante Funktion}\}$$

unentscheidbar, d.h. nahezu jede (semantische) Eigenschaft von Turingmaschinen ist nicht entscheidbar!

Beweis: Wir benutzen die überall undefinierte Funktion  $\Omega$ , die durch `while(1); /* hält für keine Eingabe */ „berechnet“` wird.

**Fall 1:** Sei  $\Omega \in S$ . Da  $S \neq \mathcal{T}\mathcal{M}$  gibt es eine Fkt  $f \in \mathcal{T}\mathcal{M} \setminus S$ . Sei  $Q$  eine TM, die  $f$  berechnet.

Wir ordnen nun jeder Gödelnummer  $\omega \in \{0, 1\}^*$  die folgende Turingmaschine  $M$  zu:

angesetzt auf Eingabe  $y$ , ignoriere zunächst  $y$ ;

verhalte dich wie  $M_\omega$ ;

falls  $M_\omega$  hält, verhalte dich wie  $Q$ ;

Die TM  $M$  berechnet also die folgende Funktion  $f'$

$$f' = \begin{cases} \Omega, & \text{falls } M_\omega \text{ auf leerem Band nicht stoppt} \\ f, & \text{sonst} \end{cases}$$

Wieder ist die Abbildung  $g$ , die  $\omega$  die Maschine  $M$  zuordnet, berechenbar und es gilt sogar:

$$\begin{aligned} \omega \in H_0 &\Rightarrow M_\omega \text{ stoppt mit leerem Band} \\ &\Rightarrow M \text{ berechnet } f \\ &\Rightarrow \text{die von } M_{g(\omega)} \text{ berechnete Funktion liegt nicht in } S \\ &\Rightarrow g(\omega) \notin C(S) \end{aligned}$$

und

$$\begin{aligned} \omega \notin H_0 &\Rightarrow M_\omega \text{ stoppt nicht mit leerem Band} \\ &\Rightarrow M \text{ berechnet } \Omega \\ &\Rightarrow \text{die von } M_{g(\omega)} \text{ berechnete Funktion liegt in } S \\ &\Rightarrow g(\omega) \in C(S) \end{aligned}$$

Damit haben wir gezeigt, dass  $\overline{H_0} \leq_m C(S)$ , da ja gilt  $\omega \in \overline{H_0}$  gdw.  $g(\omega) \in C(S)$ . Wir wissen schon, dass  $\overline{H_0}$  aufgrund von Lemma 2.16 nicht semi-entscheidbar sein kann (da  $H_0$  semi-entscheidbar, aber nicht entscheidbar ist). Also ist  $\overline{H_0}$  erst recht nicht entscheidbar und damit auch  $C(S)$  nicht entscheidbar.

**Fall 2:** Sei  $\Omega \notin S$ . Zeige völlig analog  $H_0 \leq_m C(S)$ .

In beiden möglichen Fällen haben wir durch eine geeignete Reduktion gezeigt, dass  $C(S)$  nicht entscheidbar ist, wodurch der Satz von Rice gezeigt ist. #

## Exkurs: Randomisierte Algorithmen

Wir haben in verschiedenen Berechnungsmodellen  
Nicht determinismus eingeführt:

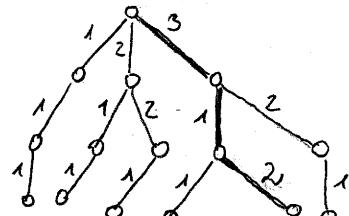
z.B. führe das Schlüsselwort "guess" ein:

- i) Berechnung verzweigt sich in unterschiedliche Zweige ( $\triangleq$  "Kopie der Maschine")
- ii) Die Kopien können nicht kommunizieren

Merkt: Dies Konzept kann nicht / schwer technisch realisiert werden

Idee: Führen das Schlüsselwort "toss" ein.

Wähle genau einen der Äste im Berechnungsbaum zufällig aus.



Def: Die Menge aller Entscheidungsprobleme mit einem Lösungsalgorithmus A und polynomieller Laufzeit und

- Wahrscheinlichkeit
- $x \in L \Rightarrow \Pr[A(x) = 1] \geq 2/3$
  - $x \notin L \Rightarrow \Pr[A(x) = 0] \geq 2/3$

heißt BPP („Bounded Error Probabilistic Polynomial Time“)

Bem: Algorithmen dieses Typs nennt man auch „Monte-Carlo Algorithmen“

Wird ein BPP-Algorithmus mehrfach ausgeführt, so sinkt die Irrtums Wahrscheinlichkeit („Amplification“)

Def: Die Menge aller Sprachen  $L$  aus BPP mit

- $x \in L \Rightarrow \Pr[A(x) = 1] \geq 2/3$
- $x \notin L \Rightarrow \Pr[A(x) = 0] = 1$

heißt RP („Randomized Polynomial Time“).

Denn

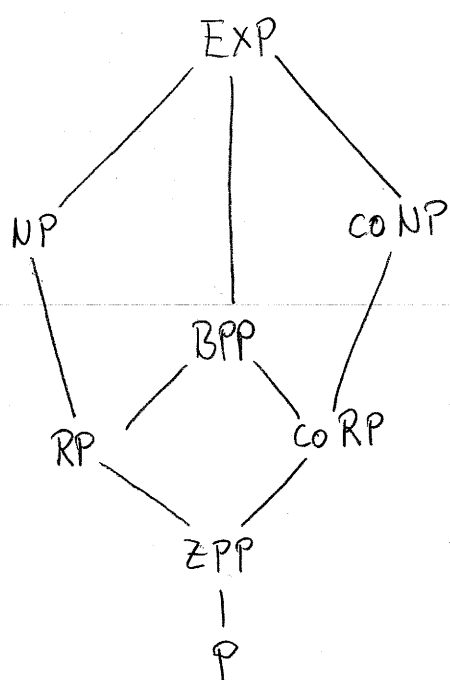
- $x \in L \Rightarrow \Pr[A(x) = 1] = 1$
- $x \notin L \Rightarrow \Pr[A(x) = 0] \geq 2/3$ , dann

ist  $L$  aus  $\text{co RP}$ .

Def:  $ZPP =_{\text{def}} RP \cap co-RP$  („Zero Error Probabilistic Polynomial Time“).

Bem: ZPP-Algorithmen heißen auch „Las Vegas Algorithmen“  
ZPP-Algorithmen dürfen mit „weiss nicht“ antworten

Übersicht:



Ziel: Zeige, dass PRIMES  $\in coRP$

Bem: Es gilt sogar  $PRIMES \in P$ , aber der bekannte Algorithmus ist zu langsam.

Idee: Verwende den kleinen Fermat als Primzahltest:

Wenn  $p$  prim und  $p \nmid a$ , dann gilt

$$a^{p-1} \equiv 1 \pmod{p}$$

Also: Wenn  $a^{p-1} \equiv 1 \pmod{p}$ , dann  $p$  prim?

⇒ Funktioniert nicht!

Def: Sei  $n \geq 3$  eine zusammengesetzte Zahl. Gilt für alle  $a$  mit  $\text{ggT}(a, n) = 1$

$$a^{n-1} \equiv 1 \pmod{n},$$

dann heißt  $n$  Carmichael-Zahl.

Es ist bekannt, dass unendlich viele Carmichael-Zahlen ex. ( $\Rightarrow$  Idee kann nicht mit einer Tabelle getestet werden). Die ersten Carmichael-Zahlen sind 561, 1105, 1729.

Satz: Sei  $n$  eine Carmichael-Zahl und  $p \mid n$ ,  $p$  prim.  
Dann gilt  $p^2 \nmid n$ . ( $n$  ist quadratfrei)

Beweis: Delfs & Kuebl, Introduction to Cryptography, Springer #

Satz: Jede Carmichael-Zahl enthält mindestens drei verschiedene Primzahlen.

Beweis: Delfs & Kuebl #

Def: Sei  $n \in \mathbb{N}$ ,  $n > 2$  und  $a \in \mathbb{Z}$ . Die Zahl  $a$  heißt quadratischer Rest mod  $n$  (kurz:  $QR_n$ ), wenn  $y^2 \equiv a \pmod{n}$  eine Lsg hat.

Sonst heißt  $a$  quadratischer Nichtrest mod  $n$  (kurz:  $QNR_n$ )

Def: Sei  $p > 2$  prim und  $a \in \mathbb{Z}$ , dann heißt

$$\left(\frac{a}{p}\right) = \text{def} \begin{cases} +1, & \text{falls } a \text{ QR}_p \text{ und } p \nmid a \\ 0, & \text{falls } p \mid a \\ -1, & \text{falls } a \text{ QNR}_p \text{ und } p \nmid a \end{cases}$$

Legendre-Symbol. Sei  $n \in \mathbb{N}$ ,  $n > 2$  und

$$n = \prod_{i=1}^r p_i^{e_i}.$$

$$\left(\frac{a}{n}\right) = \text{def} \prod_{i=1}^r \left(\frac{x}{p_i}\right)^{e_i} \quad \underline{\text{Jacobi-Symbol}}.$$

Satz (Euler-Kriterium): Sei  $p$  prim,  $p > 2$  und  $a \in \mathbb{Z}$ , dann

$$\left(\frac{a}{p}\right) \equiv a^{(p-1)/2} \pmod{p}.$$

Beweis: sel. Buch zur Zahlentheorie #

Bem: Es gibt einen effizienten Algorithmus zur Berechnung des Legendre-Symbol der das quadratische Reziprozitätsgesetz verwendet.

Def: Sei  $n > 2$  ungerade, dann heißt

$$SSZ_n = \{a \in \mathbb{Z}_n^* \mid \left(\frac{a}{n}\right) \not\equiv a^{(p-1)/2} \pmod{n}\}$$

Menge der Solovay-Strassen Zeugen gegen die Primärlität von  $n$ .

Lemma: Sei  $p$  prim,  $p > 2$ , dann  $SSZ_p = \emptyset$

Beweis: Euler-Kriterium. #

Lemma: Sei  $n > 2$  ungerade und nicht prim, dann gilt  $|SSZ_n| \geq \varphi(n)/2$ . „viele Zeugen gegen die Primärlität von  $n$ “

Beweis: Sei  $\overline{SSZ}_n = \text{def } \mathbb{Z}_n^* \setminus SSZ_n = \{a \in \mathbb{Z}_n^* \mid a^{(n-1)/2} \cdot \left(\frac{a}{n}\right)^{-1} \equiv 1 \pmod{n}\}$ .

Beh:  $\overline{SSZ}$  ist eine Untergruppe von  $\mathbb{Z}_n^*$

Bew: Übung #

Gilt  $\overline{SSZ}_n \subset \mathbb{Z}_n^*$ , dann muß  $|SSZ_n| = |\mathbb{Z}_n^*| - |\overline{SSZ}_n|$   
 $\geq \varphi(n) - \varphi(n)/2 = \varphi(n)/2$  gelten, da

nach dem Satz von Lagrange für  $|\overline{SSZ}_n|$  nur Teiler von  $|\mathbb{Z}_n^*| = \varphi(n)$  in Frage kommen. D.h. in diesem Fall gibt es viele Zeugen gegen die Primätat von  $n$ .

Beh: Wenn  $\overline{SSZ}_n = \mathbb{Z}_n^*$ , dann ist  $n$  eine Primzahl

Beweis: Angenommen  $\overline{SSZ}_n = \mathbb{Z}_n^*$  und  $n$  ist nicht prim.

Da ja  $\left(\frac{a}{n}\right) = a^{\frac{(n-1)/2}{}} \pmod{n}$  für alle  $a \in \mathbb{Z}_n^*$ , gilt

$a^{n-1} \equiv 1 \pmod{n}$ , d.h.  $a$  ist eine Carmichael-Zahl.

Also kommt kein Primfaktor in  $n$  doppelt vor und  $n = p_1 p_2 \cdots p_k$ ,  $k \geq 3$ .

Sei  $\sigma$  ein QNR <sub>$p_1$</sub> , d.h.  $\left(\frac{\sigma}{p_1}\right) = -1$ . Nun kann man ein  $x$  wählen, so dass

- $x \equiv \sigma \pmod{p_1}$  (vgl. chinesischen Restsatz)
- $x \equiv 1 \pmod{n/p_1}$

Klar:  $\underbrace{\left(\frac{x}{p_2}\right) = \left(\frac{x}{p_3}\right) = \dots = \left(\frac{x}{p_k}\right)}_{1 \text{ ist QR}_{p_i}} = 1$ , d.h.  $\left(\frac{x}{n}\right) = \left(\frac{x}{p_1}\right) \cdots \left(\frac{x}{p_k}\right) = -1$

1 ist QR <sub>$p_i$</sub>

Da  $\overline{\text{Satz}} = \mathbb{Z}_n^*$  gilt  $x^{(n-1)/2} \equiv \left(\frac{x}{n}\right) \pmod{n}$   
 und damit  $x^{(n-1)/2} \equiv -1 \pmod{n}$ . Also auch  
 $x^{(n-1)/2} \equiv -1 \pmod{p_2}$ . Dies ist ein Widerspruch, da  
 ja  $x \equiv 1 \pmod{p_1}$  und damit  $x \equiv 1 \pmod{p_2}$

Es geht aber noch besser:

Def: Sei  $n > 2$ ,  $n$  ungerade und  $n-1 = 2^s t$ , wobei  
 $2 \nmid t$ . Dann heißt

$$\text{MRZ}_n = \{a \in \mathbb{Z}^* \mid a^t \not\equiv 1 \pmod{n} \wedge a^{2^j t} \not\equiv -1 \pmod{n} \text{ für } 0 \leq j \leq s-1\}$$

Menge der Miller-Rabin Zeugen gegen die  
 Primäigenschaft von  $n$ .

Satz: Ist  $n$  eine Primzahl, dann  $\text{MRZ}_n = \emptyset$ ,  
 sonst  $|\text{MRZ}_n| \geq \frac{3}{4} \varphi(n)$

Beweis: z.B. Koblitz, A Course in Number Theory  
 and Cryptography.

Algorithmus A ("Miller-Rabin Test"):

```

Würfle ein  $a \in \mathbb{Z}_n^*$ ;
if  $a \in \text{MRZ}_n$  then
    return "composite";
else
    return "prim";
endif.

```

Also

$$n \in \text{PRIM} \Rightarrow \Pr[A(n) = \text{"prim"}] = 1$$

$$n \notin \text{PRIM} \Rightarrow \Pr[A(n) = \text{"composite"}] > 3/4$$

$\Rightarrow \text{PRIMES} \in \text{co RP}$ .

Bew: • Es ist sogar ein Algorithmus bekannt  
für PRIMES  $\in \text{RP}$  ("Kompliziert")

• Der AKS-Algorithmus zeigt PRIMES  $\in P$

— Ende der Vorlesung —